



**Совмещенные постановки обратных задач
медицинской томографии:
численные методы и глубокое обучение**

М.А. Шишленин

С.И. Кабанихин, Н.С. Новиков

Институт математики им. С.Л. Соболева СО РАН

Новосибирский государственный университет

Институт вычислительной математики и математической геофизики СО РАН

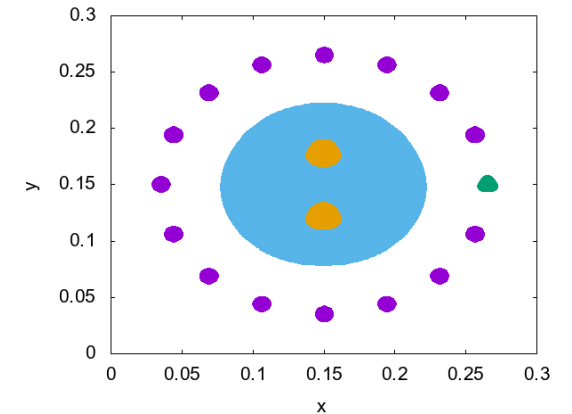
XVI Забабахинские Научные Чтения

29 мая – 2 июня 2023

РФЯЦ-ВНИИТФ, Снежинск

Содержание

1. Мотивация
2. Введение
3. Восстановление акустических параметров среды
4. Совмещенные постановки
5. Текущая работа



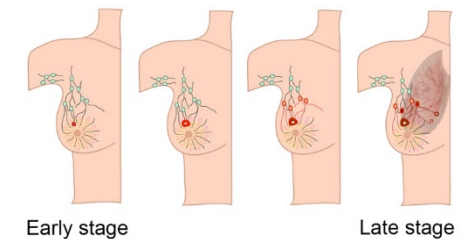


Московский государственный университет. Физический факультет. Кафедра акустики. Февраль 2013 года.
Обсуждение: В.А. Буров, О.Д. Румянцева (МГУ), С.И. Кабанихин, М.А. Шишленин.
Фото М. А. Шишленина

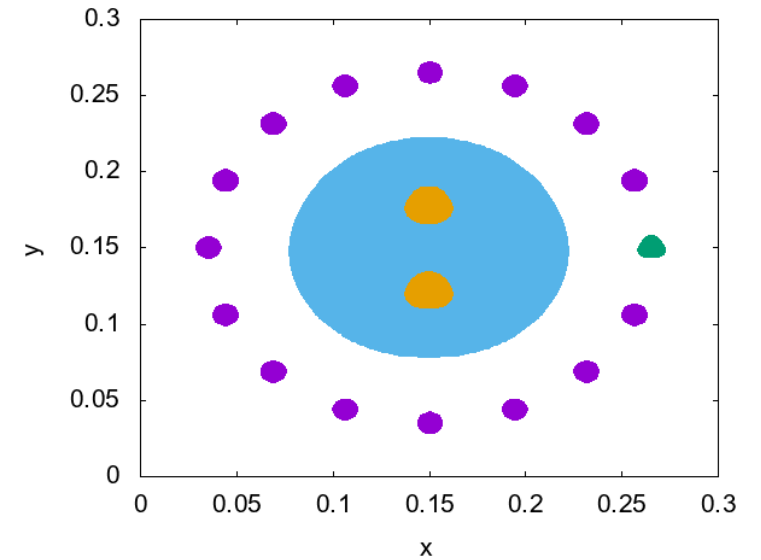
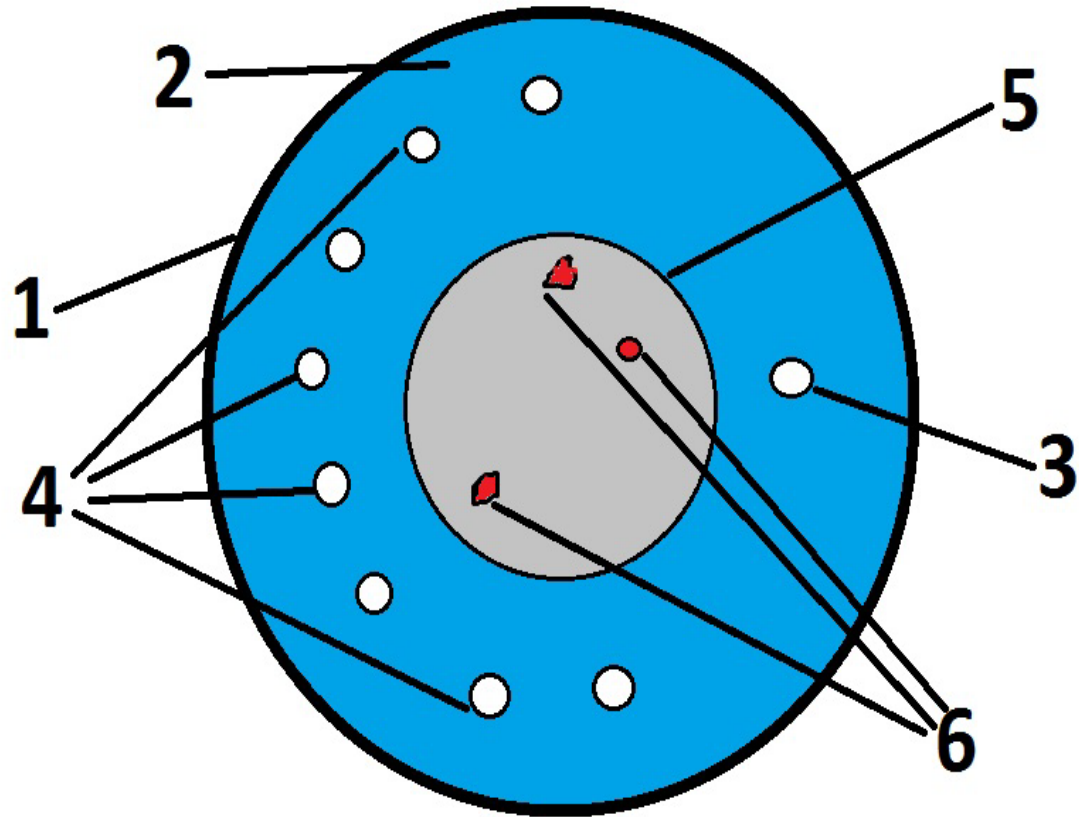
Цель: Разработка методов и алгоритмов раннего выявления различных опухолевых новообразований в мягких тканях человека.

Математическая модель акустической томографии основана на законах сохранения, которые не только описывают такие эффекты, как дифракция, преломление, отражение и акустическое поглощение в неоднородных средах на физическом уровне, но и позволяют

- моделировать диаграммы направленности источников и приемников,
- уменьшить требования гладкости на искомые коэффициенты.



Модель акустического томографа



- 1 – Граница томографа;
- 2 – Наполнитель (вода);
- 3 – Источник зондирующего сигнала;
- 4 – Приёмники акустических волн;
- 5 – Объект исследования;
- 6 – Включения внутри объекта

Система акустики

$$\frac{\partial u}{\partial t} + \frac{1}{\rho} \frac{\partial p}{\partial x} = 0$$

$$(x, y) \in \Omega$$

$$0 < t < T$$

$$\frac{\partial v}{\partial t} + \frac{1}{\rho} \frac{\partial p}{\partial y} = 0$$

$$\frac{\partial p}{\partial t} + \sigma p + \rho c^2 \left(\frac{\partial u}{\partial x} + \frac{\partial v}{\partial y} \right) = \Theta_{\Omega}(x, y) I(t)$$

Граничные и начальные условия

$$u, v, p \Big|_{(x,y) \in \partial\Omega} = 0$$

$$u, v, p \Big|_{t=0} = 0$$

u – скорость по переменной x

v – скорость по переменной y

p – давление

ρ – плотность

c – скорость звука в среде

σ – акустическое затухание

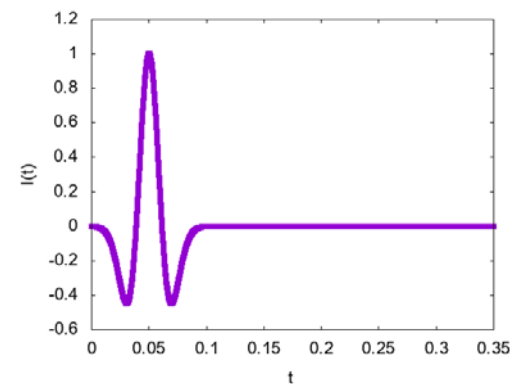
Прямая задача: найти u, v, p в Ω

Область

$$\Omega = (x, y) \in [0: L] \times [0: L]$$

Импульс Рикера

$$I(t) = \left(1 - 2 \left(\pi v_0 \left(t - \frac{1}{v_0} \right) \right)^2 \right) e^{-\pi v_0 \left(t - \frac{1}{v_0} \right)}$$



Система уравнений

$$\frac{\partial u}{\partial t} + \frac{1}{\rho} \frac{\partial p}{\partial x} = 0$$

$$\frac{\partial v}{\partial t} + \frac{1}{\rho} \frac{\partial p}{\partial y} = 0$$

$$\frac{\partial p}{\partial t} + \sigma p + \rho c^2 \left(\frac{\partial u}{\partial x} + \frac{\partial v}{\partial y} \right) = \Theta_{\Omega}(x, y) I(t)$$

Область

$$\Omega = (x, y) \in [0: L] \times [0: L]$$

$$(x, y) \in \Omega$$

$$0 < t < T$$

Граничные и начальные условия

$$u, v, p \Big|_{(x, y) \in \partial \Omega} = 0$$

$$u, v, p \Big|_{t=0} = 0$$

Данные обратной задачи

$$p(x_i, y_i, t) = f_i(t),$$

$$i = 1 \dots N$$

Обратная задача: найти ρ, c, σ в Ω

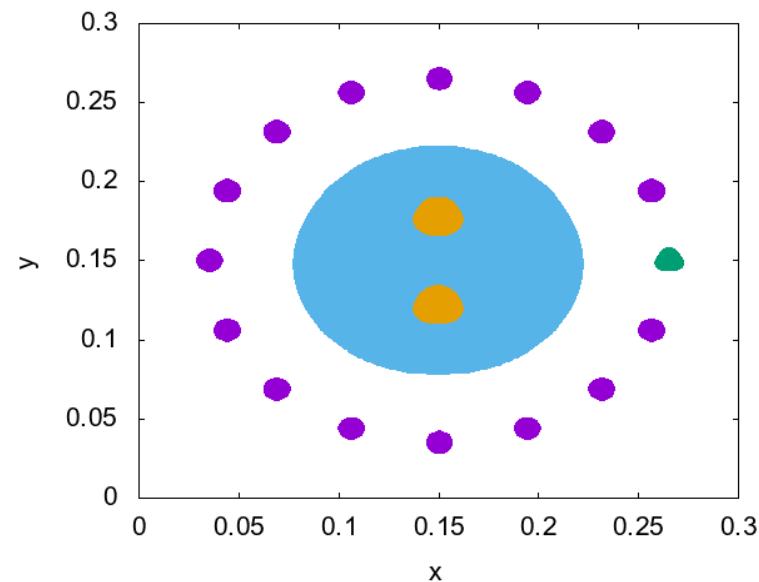
Романов В.Г., Кабанихин С.И. Обратные задачи геоэлектрики, 1991.

Bukhgeim A. L. Extension of Solutions of Elliptic Equations from Discrete Sets.

J. Inv. Ill-Posed Problems, Vol. 1, No. 1, (1993).



- 1 источник (green)
- 15 приемников (violet)
- 1 объект (blue)
- 2 неоднородности (orange)



$$\rho_{n+1} = \rho_n - \alpha_\rho J'(\rho_n) \quad c_{n+1} = c_n - \alpha_c J'(c_n)$$

$$J'(\rho) = \int_0^T \left[-u\psi_{1t} - v\psi_{2t} + \frac{\psi_3}{\rho} (u_x + v_y) \right] dt$$

$$J'(c) = \int_0^T \frac{\psi_3}{c^2} (u_x + v_y) dt$$

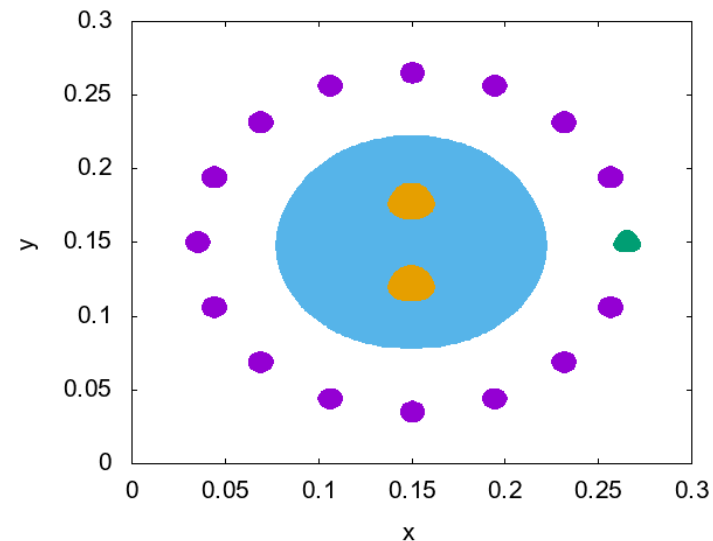
$$\frac{\partial \psi_1}{\partial t} + \frac{1}{\rho} \frac{\partial \psi_3}{\partial x} = 0$$

$$\frac{\partial \psi_2}{\partial t} + \frac{1}{\rho} \frac{\partial \psi_3}{\partial y} = 0$$

$$\frac{\partial \psi_3}{\partial t} - \sigma \psi_3 + \rho c^2 \left(\frac{\partial \psi_1}{\partial x} + \frac{\partial \psi_2}{\partial y} \right) = 2 \sum_{i=1}^N \delta(x - x_i, y - y_i) [p - f_i]$$

u, v, p - решение прямой задачи

ψ_1, ψ_2, ψ_3 - решение сопряженной задачи



$$\psi_1, \psi_2, \psi_3 \Big|_{(x,y) \in \partial\Omega} = 0$$

$$\psi_1, \psi_2, \psi_3 \Big|_{t=T} = 0$$

Обратная задача восстановления акустических параметров среды сводится к задаче минимизации целевого функционала

$$A(q) = f, \quad J(q) = \|A(q) - f\|^2 \rightarrow \min_{q=(c,\rho,\sigma)}$$

$$J(q) = \int_0^T \sum_{i=1}^N [p(x_i, y_i, t; q) - f_i(t)]^2 dt \rightarrow \min_{q=(c,\rho,\sigma)}$$

Градиентный метод: $q_{n+1} = q_n - \alpha_n [A'(q_n)]^* (A(q_n) - f)$
 $J'(q_n) = 2[A'(q_n)]^* (A(q_n) - f)$

Метод heavy-ball: $q_{n+1} = q_n - \alpha_n J'(q_n) + \beta_n (q_n - q_{n-1})$

Метод Ю.Е. Нестерова: $q_{n+1} = q_n - \alpha_n J'(q_n + \beta_n (q_n - q_{n-1})) + \beta_n (q_n - q_{n-1})$

Идея:
 необходимо
 уменьшить
 отклонение
 модельных и
 измеренных
 данных

Sara Ferreira Reis. Characterisation of biological tissue: measurement of acoustic properties for Ultrasound Therapy. Dissertacao Mestrado Integrado em Engenharia Biomedica Biofisica Perl de Sinais e Imagens Medicas. 2013.

Голубинский А. Н., Дворянкин С. В. К вопросу о параметризации результатов акустического зондирования тела человека (АЧХ) при реализации контактно-разностного метода аудиоидентификации. Спецтехника и связь. 2011. № 2.

T. Douglas Mast. Empirical relationships between acoustic parameters in human soft tissues. Acoustics Research Letters Online 1 (2000).

S. A. Goss, R. L. Johnston, F. Dunn. Comprehensive compilation of empirical ultrasonic properties of mammalian tissues.

The Journal of the Acoustical Society of America 64 (1978).

Структура градиентных методов: $q_{n+1} = q_n - \alpha(A'(q_n))^*(A(q_n) - f)$

[Hanke, Neubauer, Scherzer, 1995]: градиентный метод локально сходится, если в некоторой окрестности точного решения выполняются условия:

1. $\|A'(q)\| \leq \mu < 1,$

2. $\|A(x) - A(y) - A'(y)(x - y)\| \leq \eta\|A(x) - A(y)\|, 0 < \eta < 1/2.$

Верна оценка $\|q_{n+1} - q_{\text{точное}}\| \leq M\beta^{n+1}, 0 < \beta < 1.$

M. Hanke, A. Neubauer, O. Scherzer, A convergence analysis of the Landweber iteration for nonlinear ill-posed problems. Numer. Math. 1995. 72.

S.I. Kabanikhin, O. Scherzer, M.A. Shishlenin. Iteration methods for solving a two-dimensional inverse problem for a hyperbolic equation. Journal of Inverse and Ill-Posed Problems. 2003. 11(1).

Использование априорной информации о решении: гладкость, монотонность...

На каждой итерации приближенное решение проектируется в искомый класс функций.

Васин В.В., Еремин И.И. Операторы и итерационные процессы фейеровского типа. Теория и приложения. 2005.

Кабанихин С.И., Шишленин М.А. Об использовании априорной информации в коэффициентных обратных задачах для гиперболических уравнений. Труды ИММ УрО РАН. 2012. 18(1).

$$\rho_{n+1} = \rho_n - \alpha_\rho J'(\rho_n), c_{n+1} = c_n - \alpha_c J'(c_n), \sigma_{n+1} = \sigma_n - \alpha_\sigma J'(\sigma_n)$$

Методы heavy-ball и Ю.Е. Нестерова

$$J'(\rho) = \int_0^T \left[-u\psi_{1t} - v\psi_{2t} + \frac{\psi_3}{\rho} (u_x + v_y) \right] dt$$

$$J'(c) = \int_0^T \frac{\psi_3}{c^2} (u_x + v_y) dt$$

$$J'(\sigma) = \int_0^T \frac{p(x, y, t) \Psi_3(x, y, t)}{\rho c^2(x, y)} dt.$$

u, v, p - решение прямой задачи

ψ_1, ψ_2, ψ_3 - решение сопряженной задачи

$$\frac{\partial \psi_1}{\partial t} + \frac{1}{\rho} \frac{\partial \psi_3}{\partial x} = 0$$

$$\frac{\partial \psi_2}{\partial t} + \frac{1}{\rho} \frac{\partial \psi_3}{\partial y} = 0$$

$$\frac{\partial \psi_3}{\partial t} - \sigma \psi_3 + \rho c^2 \left(\frac{\partial \psi_1}{\partial x} + \frac{\partial \psi_2}{\partial y} \right) = 2 \sum_{i=1}^N \delta(x - x_i, y - y_i) [p - f_i]$$

*Kabanikhin S.I., Klyuchinskiy D.V.,
Novikov N.S., Shishlenin M.A.
Numerics of acoustical 2D tomography
based on the conservation laws.
Journal of Inverse and Ill-Posed
Problems, 2020, 8(2).
Klyuchinskiy D., Novikov N., Shishlenin
M.A. Modification of gradient descent
method for solving coefficient inverse
problem for acoustics equations.
Computation, 2020, 8(3), № 73.*

$$\psi_1, \psi_2, \psi_3 \Big|_{(x,y) \in \partial\Omega} = 0$$

$$\psi_1, \psi_2, \psi_3 \Big|_{t=T} = 0$$

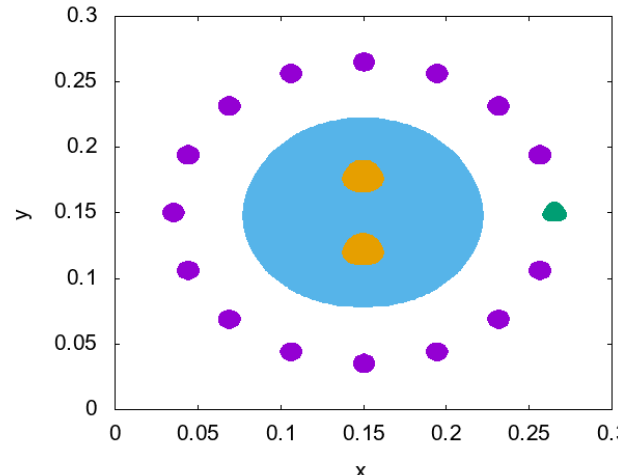
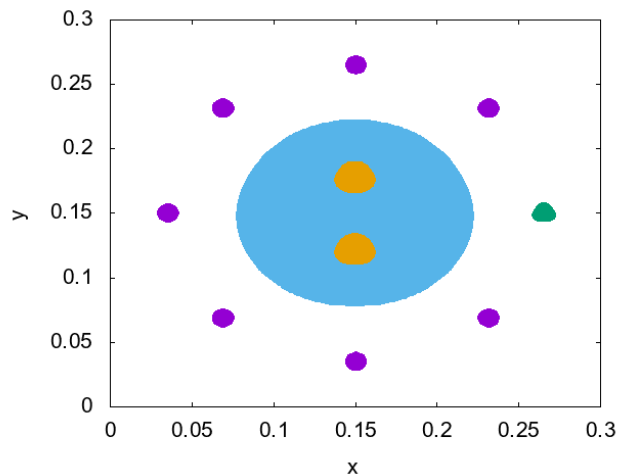
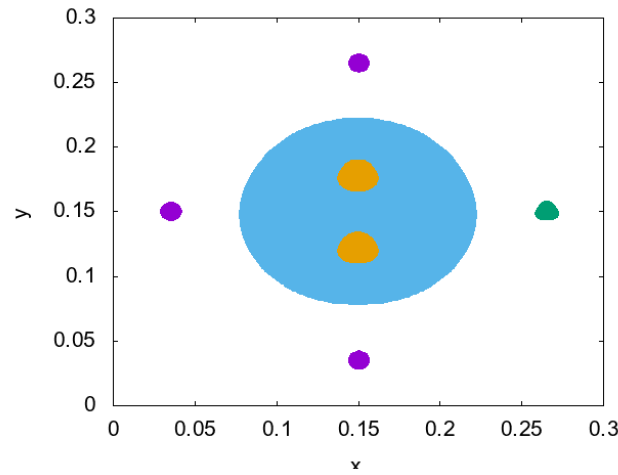
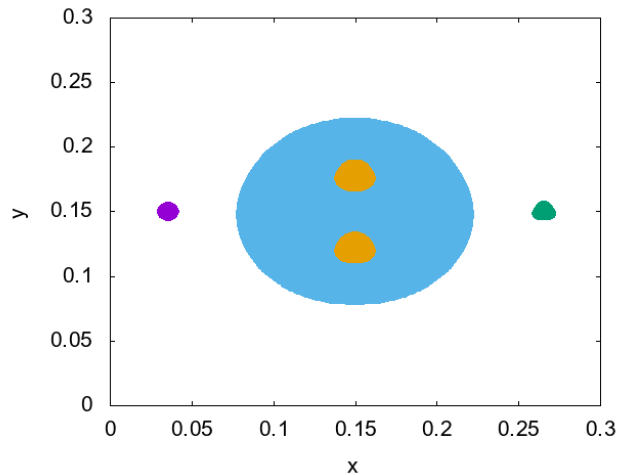
Сетка: 500 x 500. $L_x = L_y = 0.3$. $R_{rec} = 0.01$. Скорость постоянна и известна.

Синтетические данные

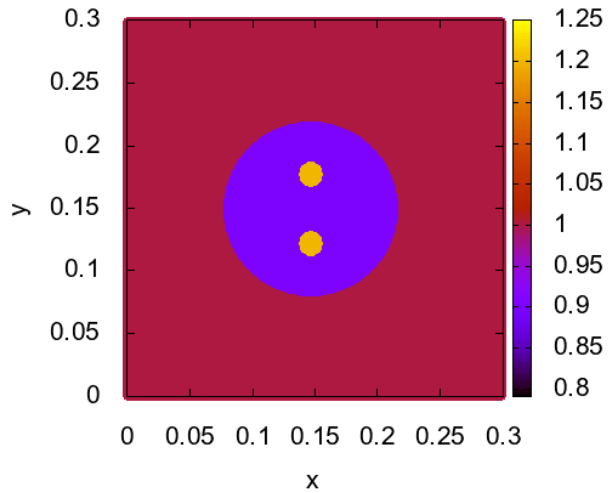
$$p_j(x_i, y_i, t; \rho_{exact}) = f_j(x_i, y_i, t)$$

Данные с шумом

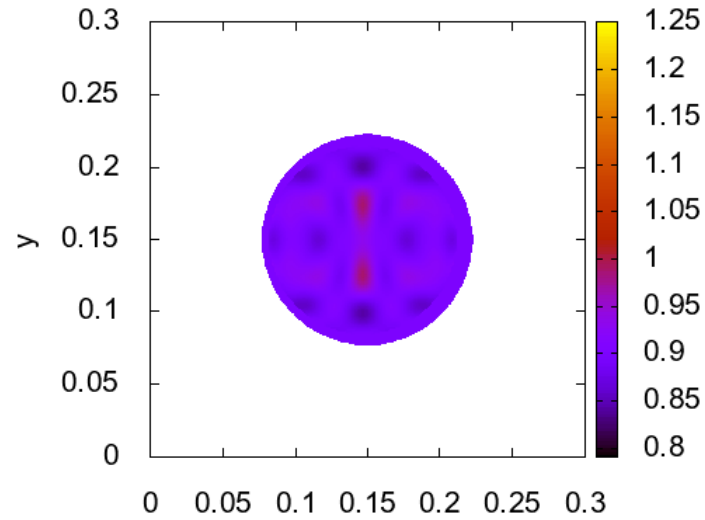
$$f_j(x_i, y_i, t) = p_j(x_i, y_i, t; \rho_{exact}) + (\max - \min) \alpha \frac{NS}{100}$$



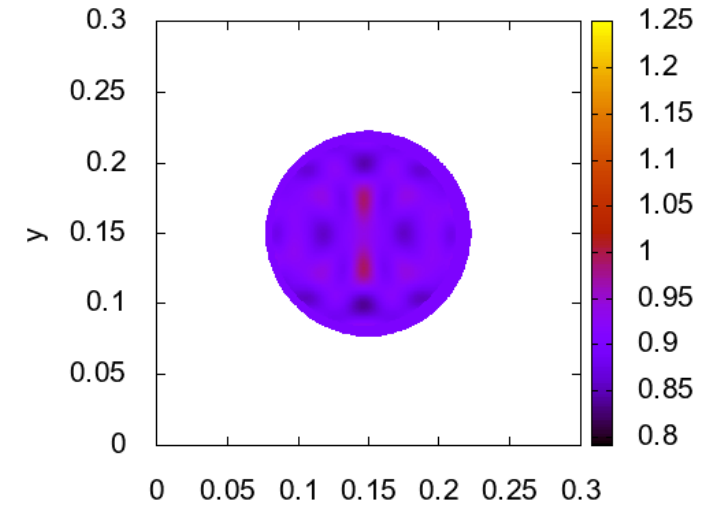
Точное решение



$K = 2$

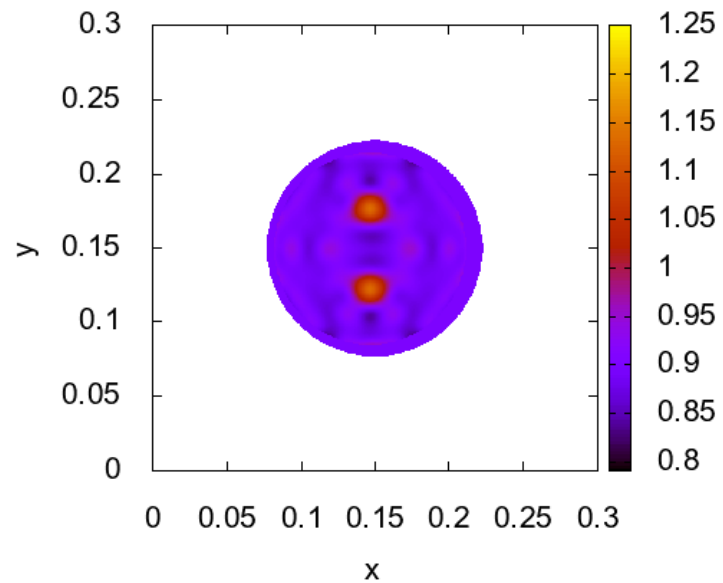


$K = 2$. Шум 10 %

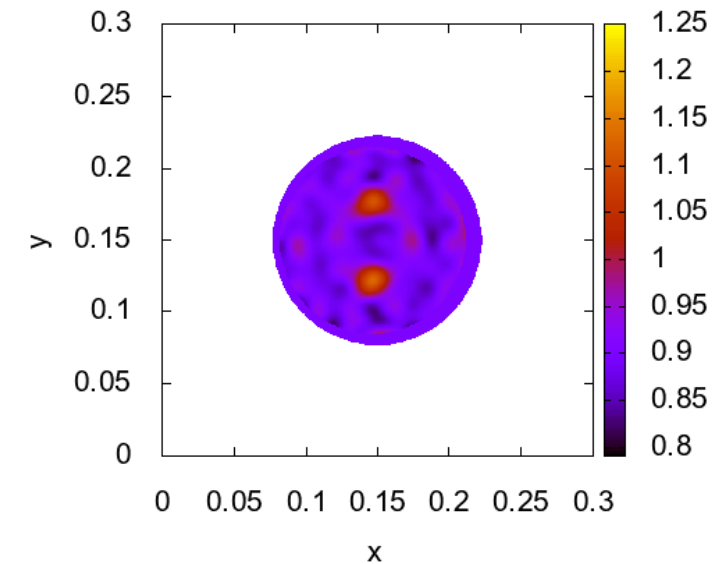


$N_{iterations} = 1000$

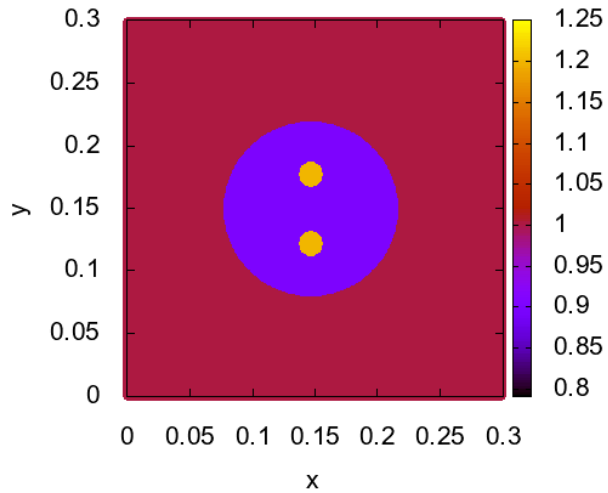
$K = 4$



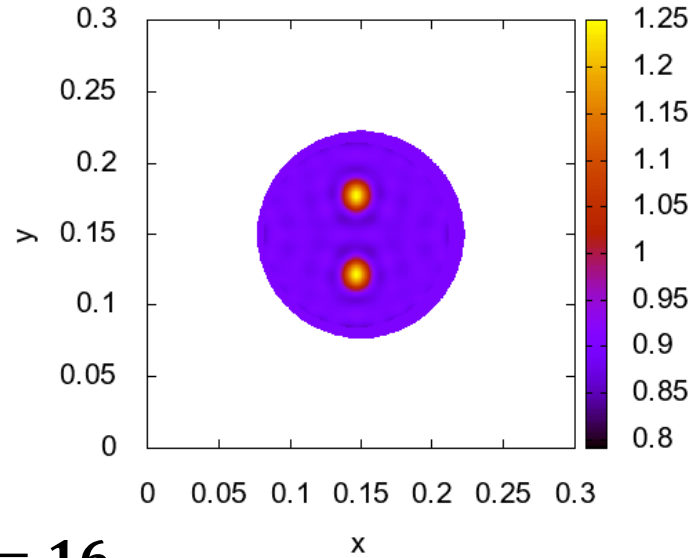
$K = 4$. Шум 10 %



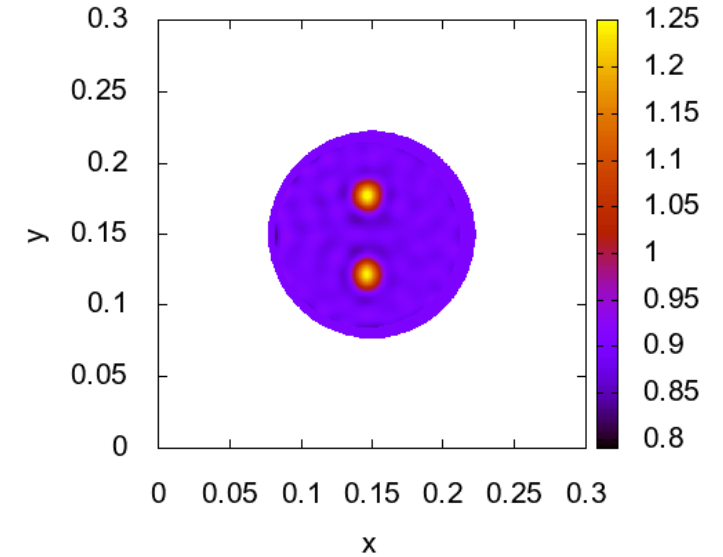
Точное решение



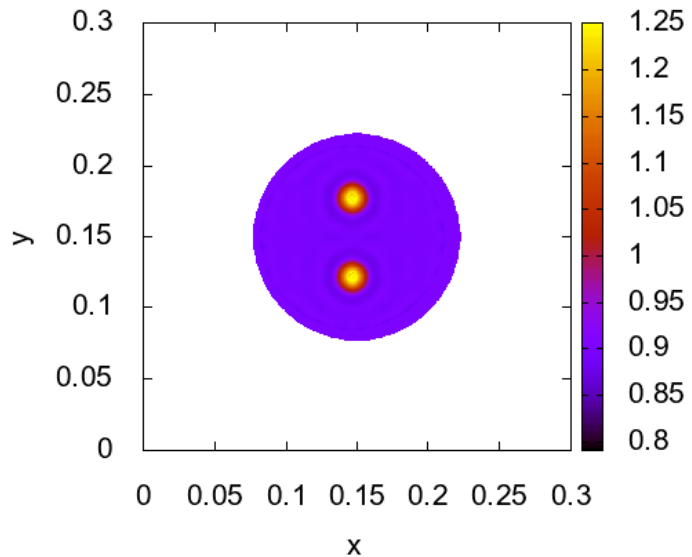
$K = 8$



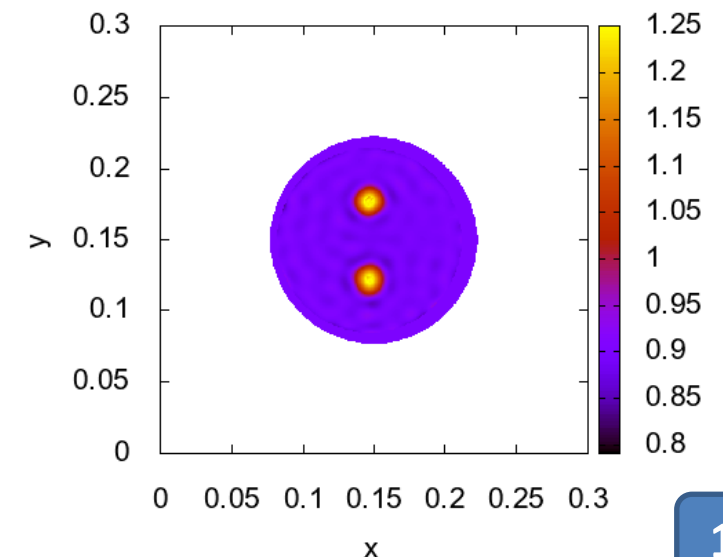
$K = 8$. Шум 10 %



$K = 16$



$K = 16$. Шум 10 %

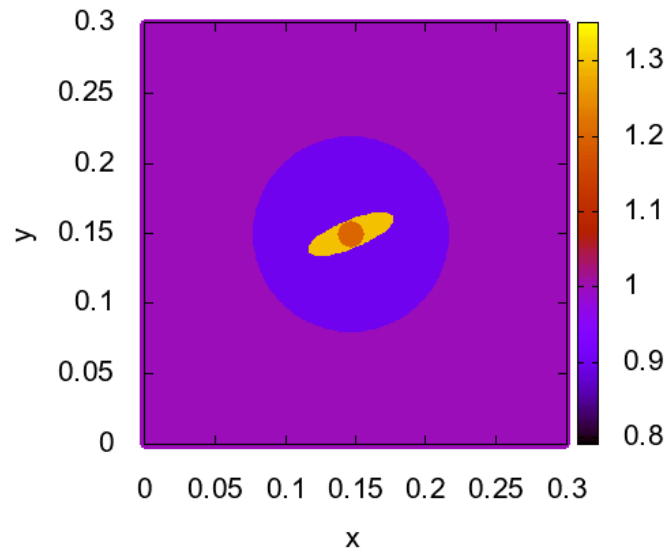


$N_{iterations} = 1000$

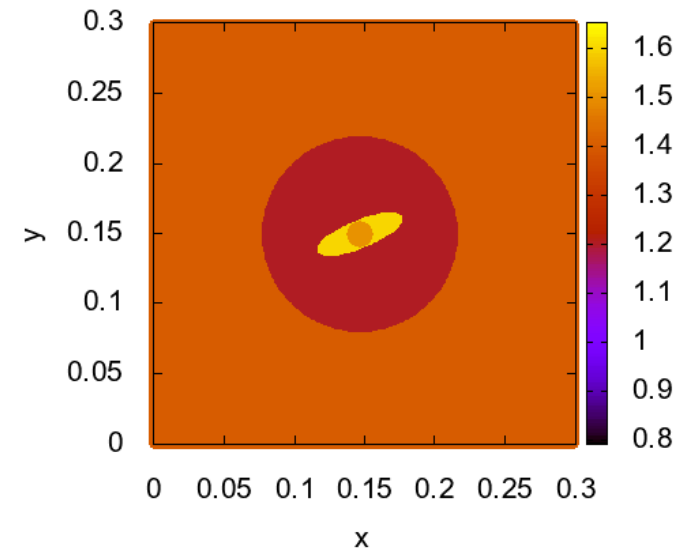
Пример: Восстановление одного из параметров (плотности)

Рассмотрим задачу определения только одного параметра (плотности), в то время как значения скорости звука в среде фиксированы.

Плотность (точное значение)



Скорость звука в среде (точное значение)



Наполнитель – вода, исследуемая область (круг) – человеческая ткань (жир), внутри – включения большей плотности. В начальном приближении информация о включениях отсутствует.

Решая прямую задачу для точных значений плотности и скорости, получаем данные обратной задачи (синтетические данные).

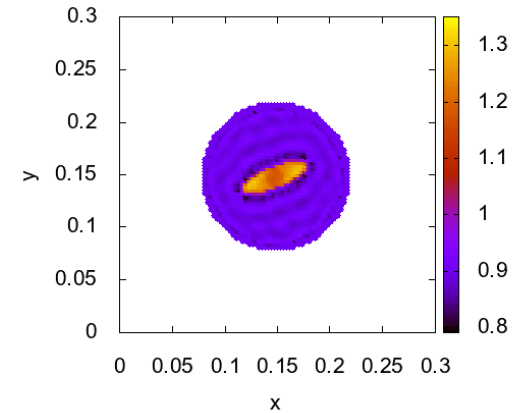
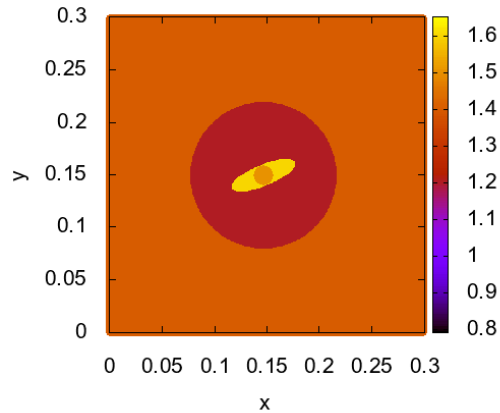
Пример: Восстановление одного из параметров (плотности)

Как точность зафиксированной скорости звука влияет на восстановление плотности?

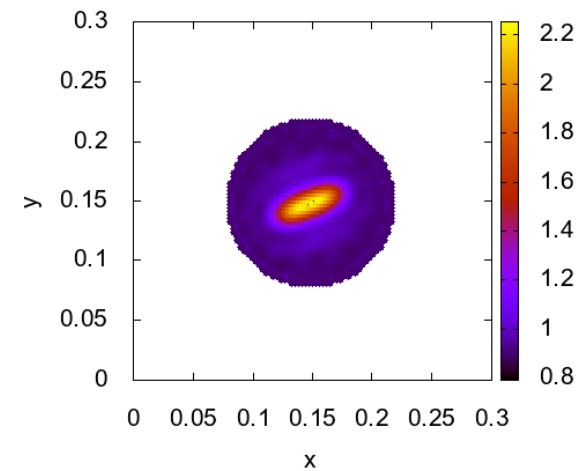
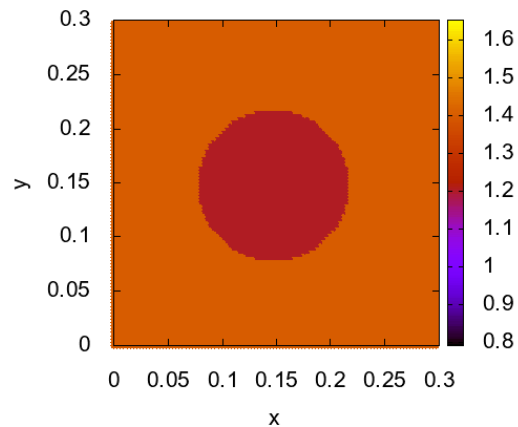
Значение фиксированной скорости звука в среде

Результат восстановления плотности (1000 итераций, шаг сетки 3мм, система из 8 источников и приёмников)

Скорость известна точно



Скорость известна приближённо



Пример: Восстановление двух параметров

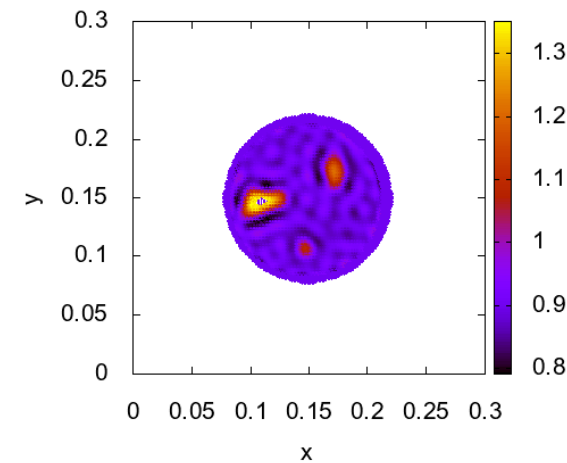
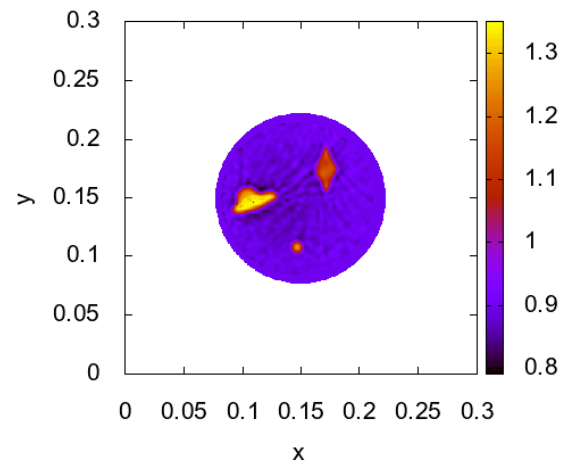
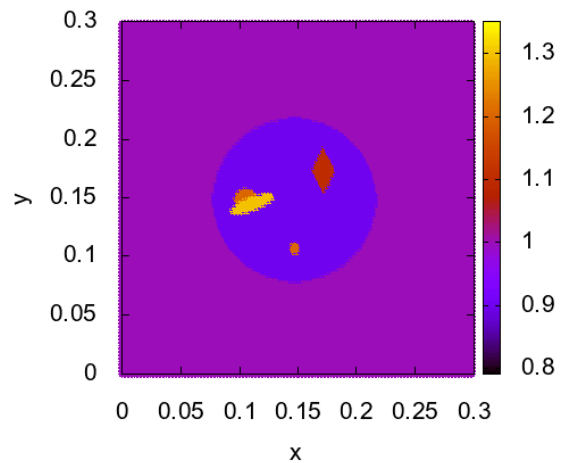
Рассмотрим задачу восстановления двух параметров

Точные значения параметров

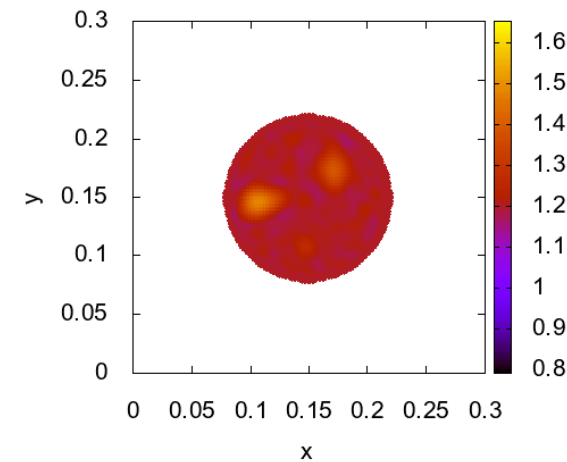
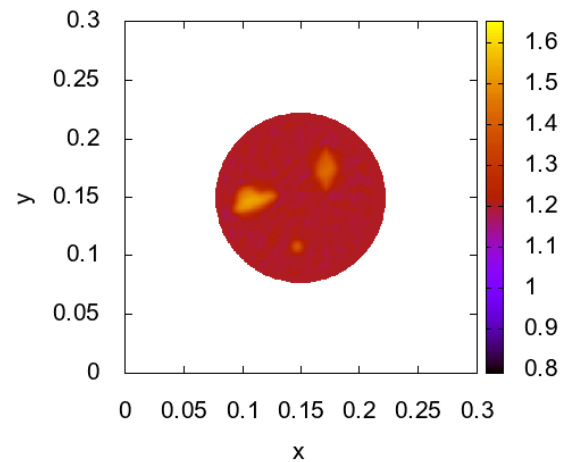
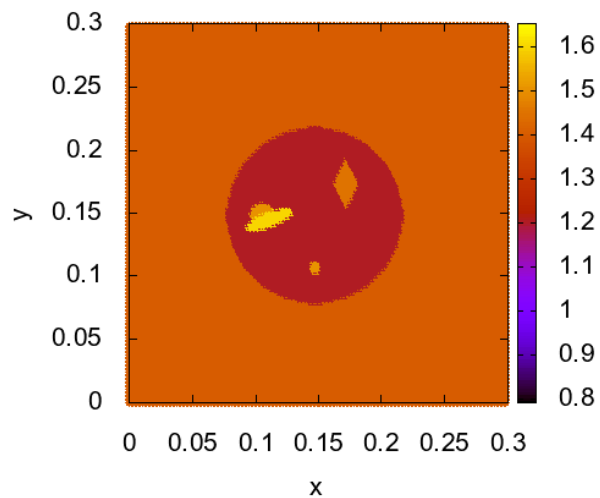
Восстановление (точные данные)

Восстановление (шум 5%)

Плотность



Скорость



$$J'(\rho) = \int_0^T \left[-u\psi_{1t} - v\psi_{2t} + \frac{\psi_3}{\rho} (u_x + v_y) \right] dt$$

Стандартная схема

- 1) Решаем прямую задачу $p_j(x_i, y_i, t; q_n)$
- 2) Решаем сопряженную задачу
- 3) Вычисляем градиент $J'_j = J'_j(q_n)$

Одновременная схема

- 1) Решаем прямую задачу $p_j(x_i, y_i, t; q_n)$
- 2) Решаем сопряженную задачу и находим давление в конкретный момент времени и вычисляем градиент $J'_j = J'_j(q_n)(t_n)$

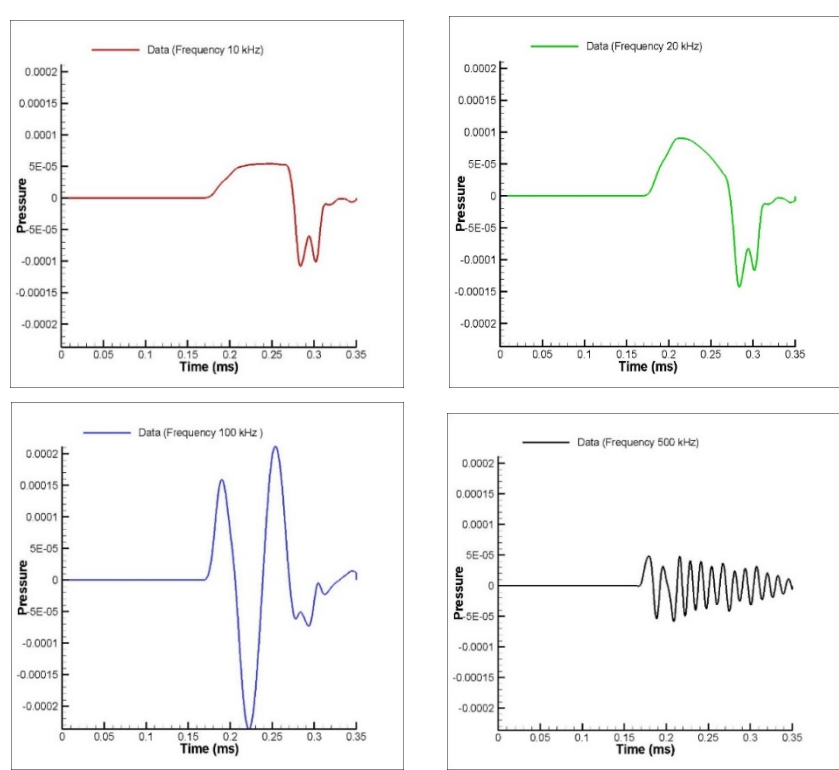
Этап расчета сопряженной задачи и градиента оптимизирован с точки зрения потребляемых ресурсов оперативной памяти и времени вычислений. Оптимизированная версия алгоритма обеспечивает лучшие результаты как с точки зрения требований к оперативной памяти (почти 50-процентное улучшение), так и с точки зрения времени вычислений (10-25 процентов в зависимости от количества ядер).

Standard scheme

Mesh size	CPU Time, s			Memory, Gb
	4 cores	8 cores	16 cores	
$N_x = N_y = 100$	2.9	1.5	1.1	0.18
$N_x = N_y = 200$	23.8	11.8	7.2	1.43
$N_x = N_y = 400$	184.1	96.2	53.7	11.48

Simultaneous scheme

Mesh size	CPU Time, s			Memory, Gb
	4 cores	8 cores	16 cores	
$N_x = N_y = 100$	2.29	1.26	0.83	0.09
$N_x = N_y = 200$	18.1	9.37	5.56	0.72
$N_x = N_y = 400$	145.3	75.12	42.03	5.75



Обратные задачи и Искусственный интеллект

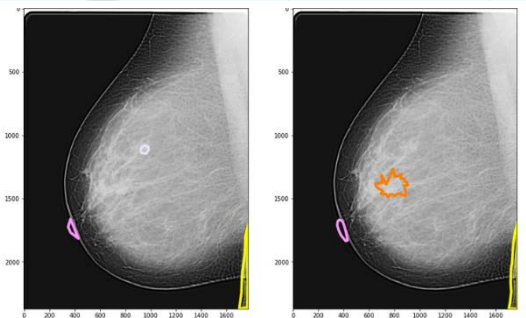
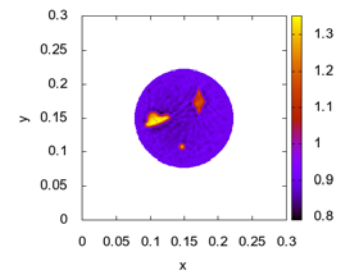
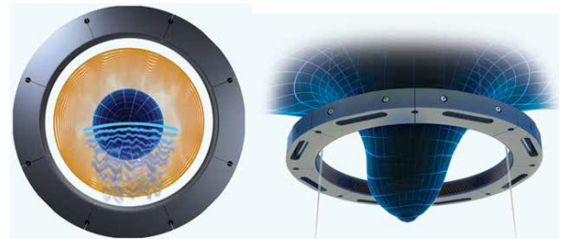
Данные акустической томографии

Математическая модель (линейная и нелинейная)

Нейронные сети, машинное обучение и т.д.

Решение обратной задачи

Восстановление электромагнитных и акустических параметров среды



Система уравнений

$$\frac{\partial u}{\partial t} + \frac{1}{\rho} \frac{\partial p}{\partial x} = 0$$

$$\frac{\partial v}{\partial t} + \frac{1}{\rho} \frac{\partial p}{\partial y} = 0$$

$$\frac{\partial p}{\partial t} + \sigma p + \rho c^2 \left(\frac{\partial u}{\partial x} + \frac{\partial v}{\partial y} \right) = \Theta_{\Omega}(x, y) I(t)$$

Область

$$\Omega = (x, y) \in [0: L] \times [0: L]$$

$$(x, y) \in \Omega \\ 0 < t < T$$

Импульс Рикера

$$I(t) = \left(1 - 2 \left(\pi \nu_0 \left(t - \frac{1}{\nu_0} \right) \right)^2 \right) e^{-\pi \nu_0 \left(t - \frac{1}{\nu_0} \right)}$$



- 1 источник (green)
- 15 приемников (violet)
- 1 объект (blue)
- 2 неоднородности (orange)

Граничные и начальные условия

$$u, v, p \Big|_{(x,y) \in \partial\Omega} = 0$$

$$u, v, p \Big|_{t=0} = 0$$

Данные обратной задачи

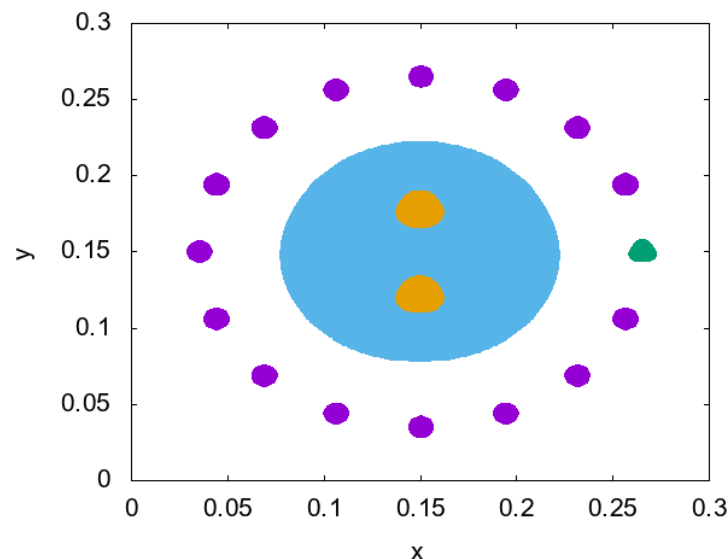
$$p(x_i, y_i, t) = f_i(t), \\ i = 1 \dots N$$

Обратная задача: найти ρ, c, σ в Ω

Романов В.Г., Кабанихин С.И. Обратные задачи геоэлектрики, 1991.

Bukhgeim A. L. Extension of Solutions of Elliptic Equations from Discrete Sets.

J. Inv. Ill-Posed Problems, Vol. 1, No. 1, (1993).



$$\rho_{n+1} = \rho_n - \alpha_\rho J'(\rho_n), c_{n+1} = c_n - \alpha_c J'(c_n), \sigma_{n+1} = \sigma_n - \alpha_\sigma J'(\sigma_n)$$

Методы heavy-ball и Ю.Е. Нестерова

$$J'(\rho) = \int_0^T \left[-u\psi_{1t} - v\psi_{2t} + \frac{\psi_3}{\rho} (u_x + v_y) \right] dt$$

$$J'(c) = \int_0^T \frac{\psi_3}{c^2} (u_x + v_y) dt$$

$$J'(\sigma) = \int_0^T \frac{p(x, y, t) \Psi_3(x, y, t)}{\rho c^2(x, y)} dt.$$

u, v, p - решение прямой задачи

ψ_1, ψ_2, ψ_3 - решение сопряженной задачи

$$\frac{\partial \psi_1}{\partial t} + \frac{1}{\rho} \frac{\partial \psi_3}{\partial x} = 0$$

$$\frac{\partial \psi_2}{\partial t} + \frac{1}{\rho} \frac{\partial \psi_3}{\partial y} = 0$$

$$\frac{\partial \psi_3}{\partial t} - \sigma \psi_3 + \rho c^2 \left(\frac{\partial \psi_1}{\partial x} + \frac{\partial \psi_2}{\partial y} \right) = 2 \sum_{i=1}^N \delta(x - x_i, y - y_i) [p - f_i]$$

*Kabanikhin S.I., Klyuchinskiy D.V.,
Novikov N.S., Shishlenin M.A.
Numerics of acoustical 2D tomography
based on the conservation laws.
Journal of Inverse and Ill-Posed
Problems, 2020, 8(2).
Klyuchinskiy D., Novikov N., Shishlenin
M.A. Modification of gradient descent
method for solving coefficient inverse
problem for acoustics equations.
Computation, 2020, 8(3), № 73.*

$$\psi_1, \psi_2, \psi_3 \Big|_{(x,y) \in \partial\Omega} = 0$$

$$\psi_1, \psi_2, \psi_3 \Big|_{t=T} = 0$$

Обратная задача восстановления акустических параметров среды сводится к задаче минимизации целевого функционала

$$A(q) = f, \quad J(q) = \|A(q) - f\|^2 \rightarrow \min_{q=(c,\rho,\sigma)}$$

$$J(q) = \int_0^T \sum_{i=1}^N [p(x_i, y_i, t; q) - f_i(t)]^2 dt \rightarrow \min_{q=(c,\rho,\sigma)}$$

Идея:
необходимо
уменьшить
отклонение
модельных и
измеренных
данных

Градиентный метод: $q_{n+1} = q_n - \alpha_n [A'(q_n)]^* (A(q_n) - f)$
 $J'(q_n) = 2[A'(q_n)]^* (A(q_n) - f)$

Метод heavy-ball: $q_{n+1} = q_n - \alpha_n J'(q_n) + \beta_n (q_n - q_{n-1})$

Метод Ю.Е. Нестерова: $q_{n+1} = q_n - \alpha_n J'(q_n + \beta_n (q_n - q_{n-1})) + \beta_n (q_n - q_{n-1})$

Sara Ferreira Reis. Characterisation of biological tissue: measurement of acoustic properties for Ultrasound Therapy. Dissertacao Mestrado Integrado em Engenharia Biomedica Biofisica Perl de Sinais e Imagens Medicas. 2013.

Голубинский А. Н., Дворянкин С. В. К вопросу о параметризации результатов акустического зондирования тела человека (АЧХ) при реализации контактно-разностного метода аудиоидентификации. Спецтехника и связь. 2011. № 2.

T. Douglas Mast. Empirical relationships between acoustic parameters in human soft tissues. Acoustics Research Letters Online 1 (2000).

S. A. Goss, R. L. Johnston, F. Dunn. Comprehensive compilation of empirical ultrasonic properties of mammalian tissues.

The Journal of the Acoustical Society of America 64 (1978).

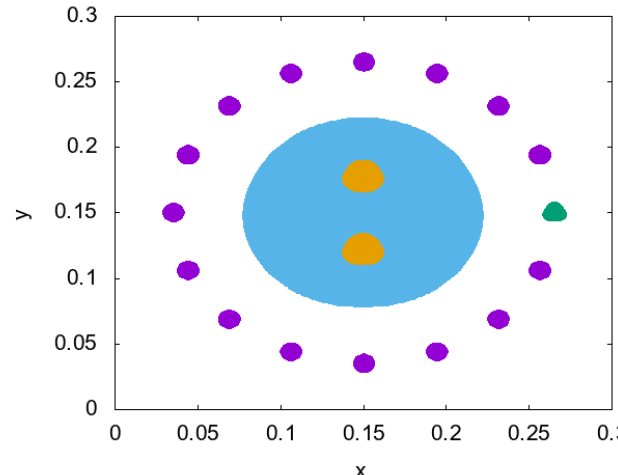
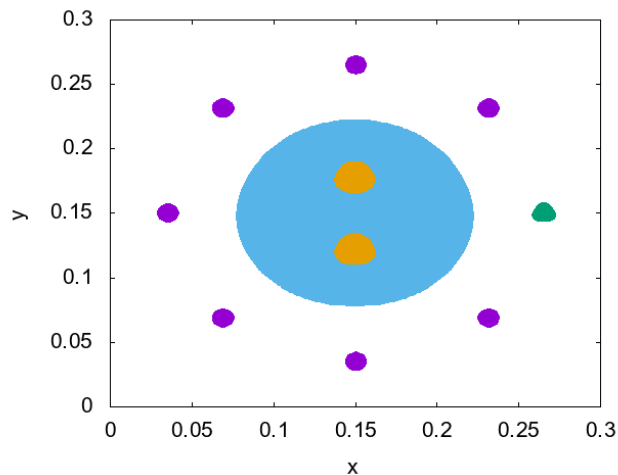
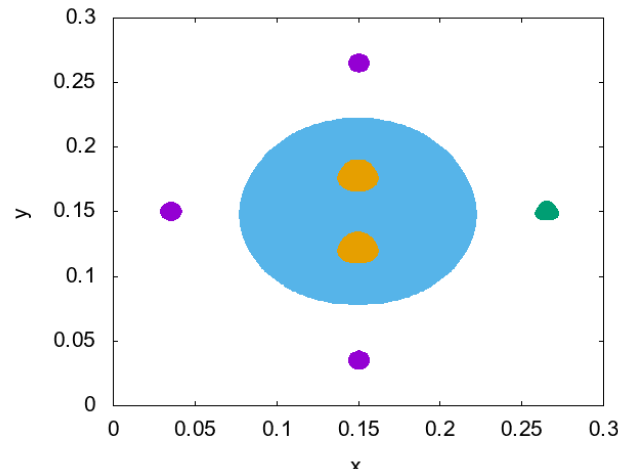
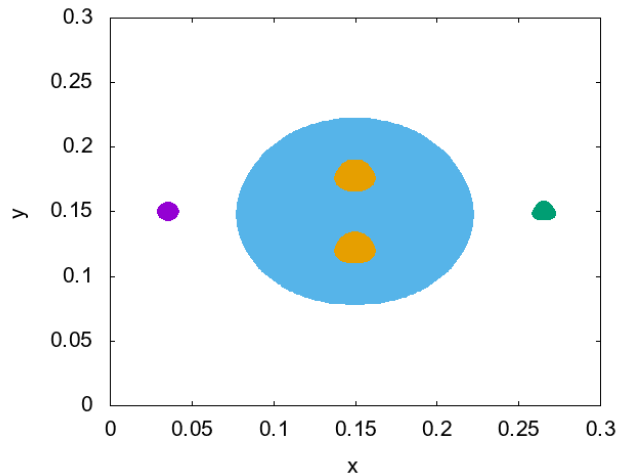
Сетка: 500 x 500. $L_x = L_y = 0.3$. $R_{rec} = 0.01$. Скорость постоянна и известна.

Синтетические данные

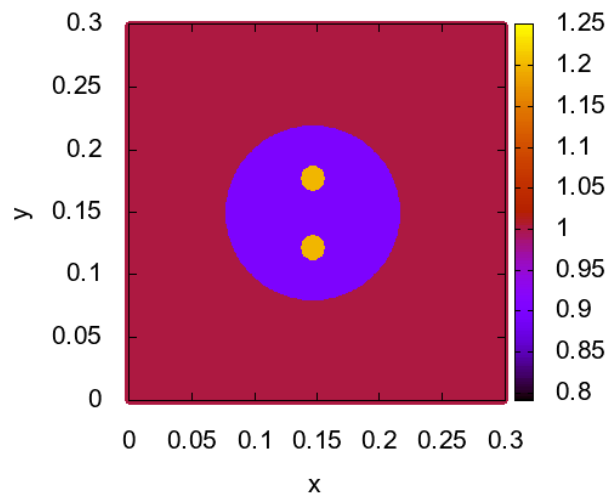
$$p_j(x_i, y_i, t; \rho_{exact}) = f_j(x_i, y_i, t)$$

Данные с шумом

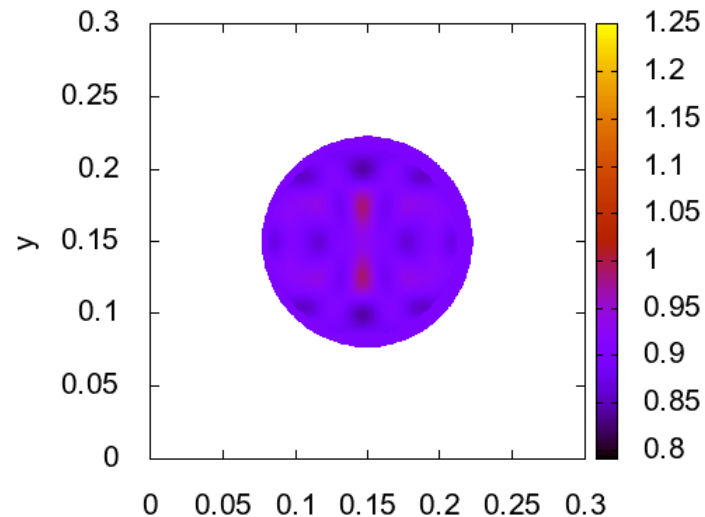
$$f_j(x_i, y_i, t) = p_j(x_i, y_i, t; \rho_{exact}) + (\max - \min) \alpha \frac{NS}{100}$$



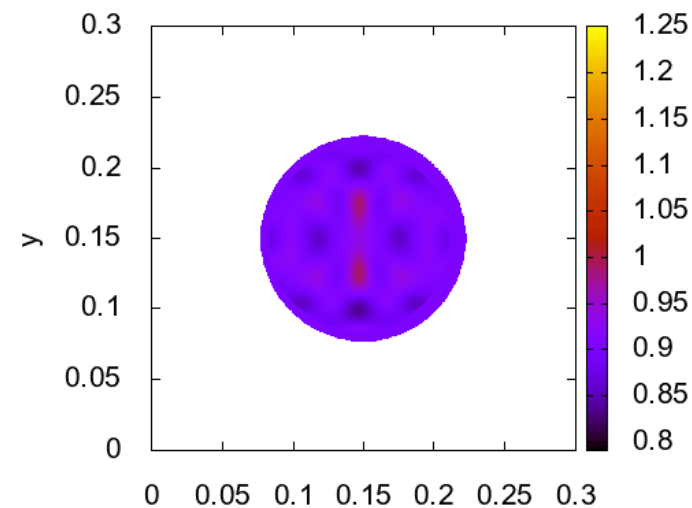
Точное решение



$K = 2$

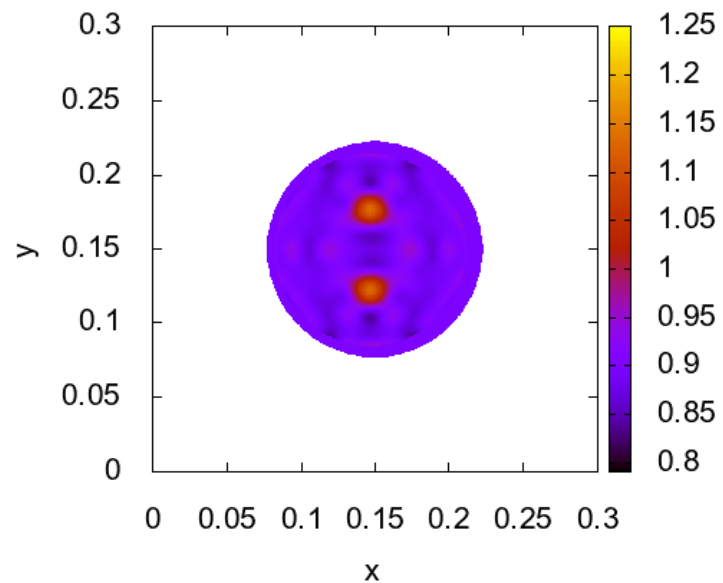


$K = 2$. Шум 10 %

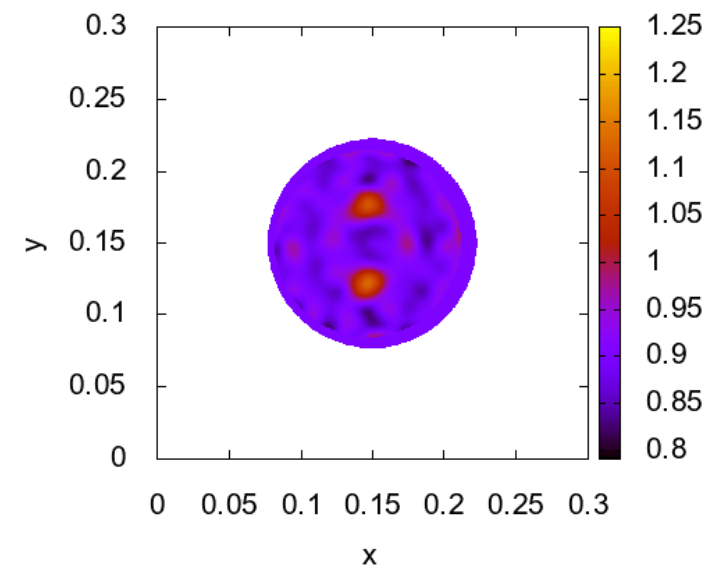


$N_{iterations} = 1000$

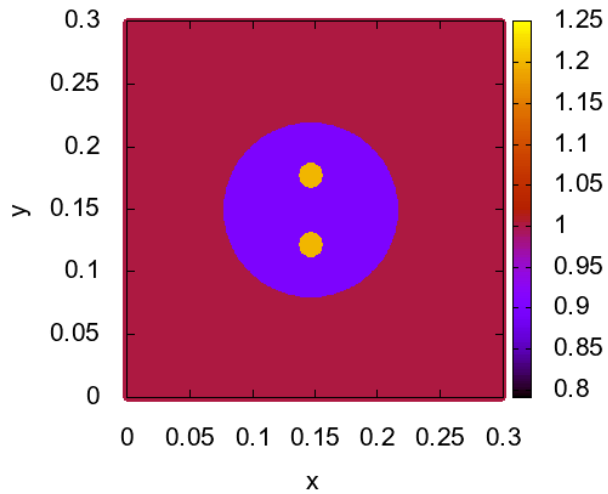
$K = 4$



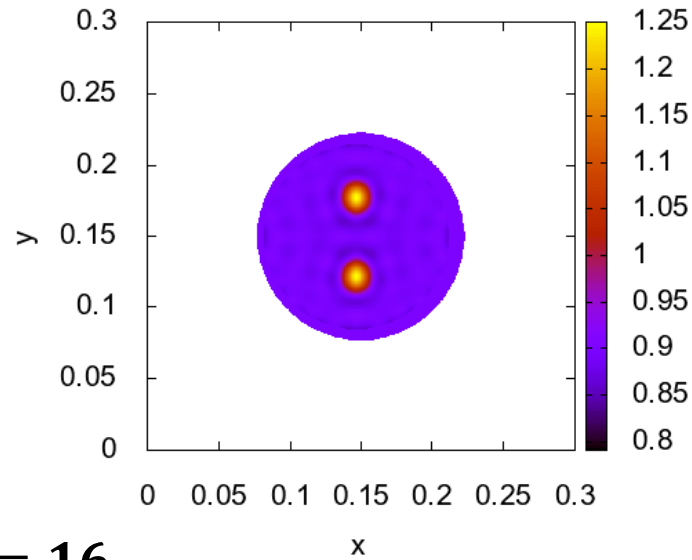
$K = 4$. Шум 10 %



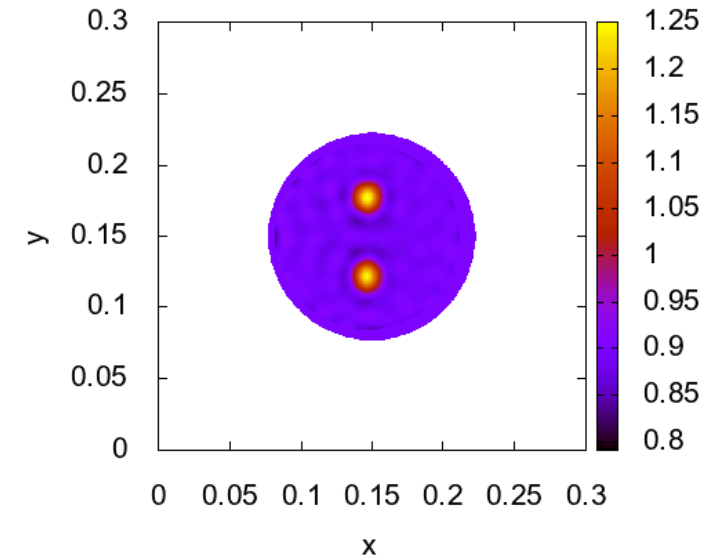
Точное решение



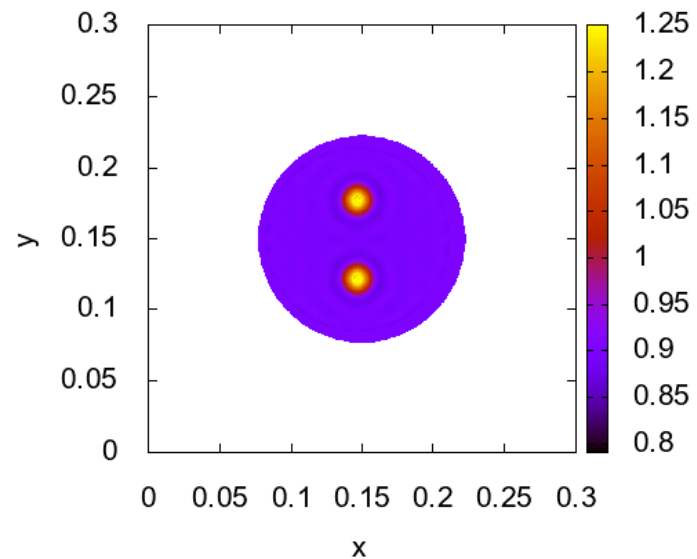
$K = 8$



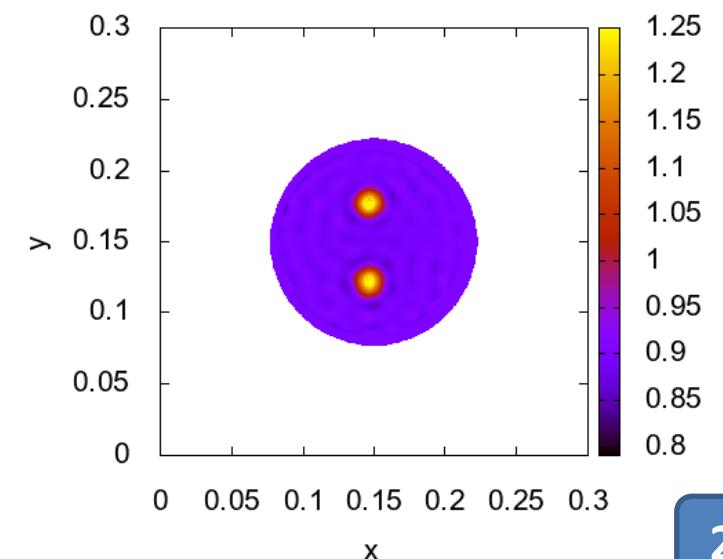
$K = 8$. Шум 10 %



$K = 16$



$K = 16$. Шум 10 %



$N_{iterations} = 1000$

Пример: Восстановление двух параметров

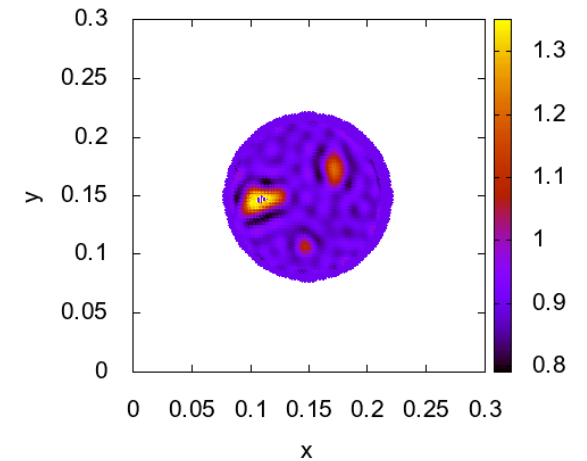
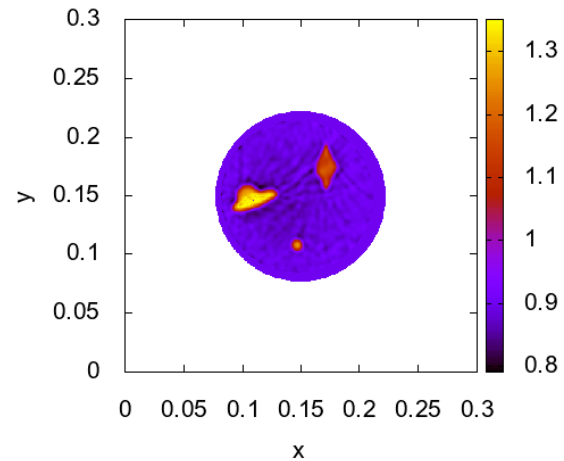
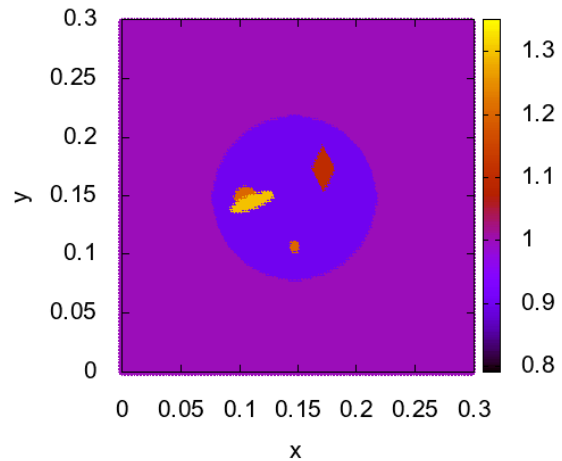
Рассмотрим задачу восстановления двух параметров

Точные значения параметров

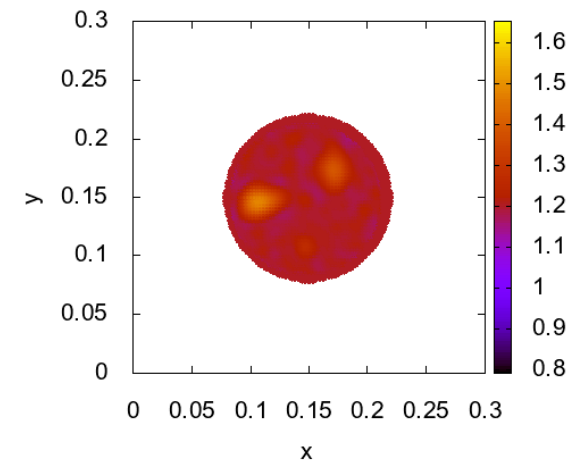
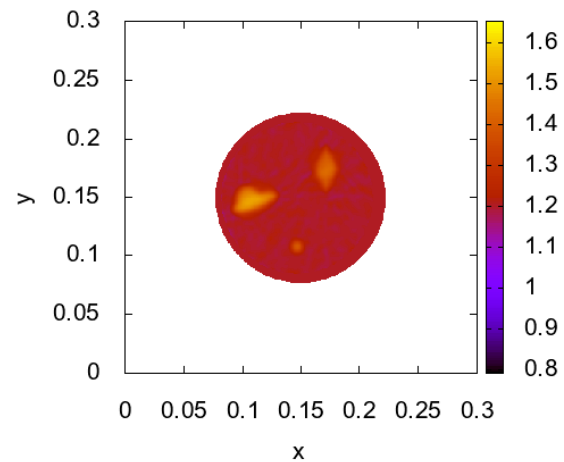
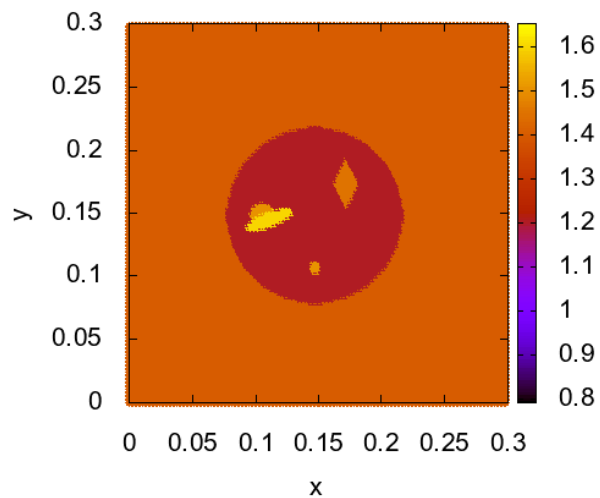
Восстановление (точные данные)

Восстановление (шум 5%)

Плотность

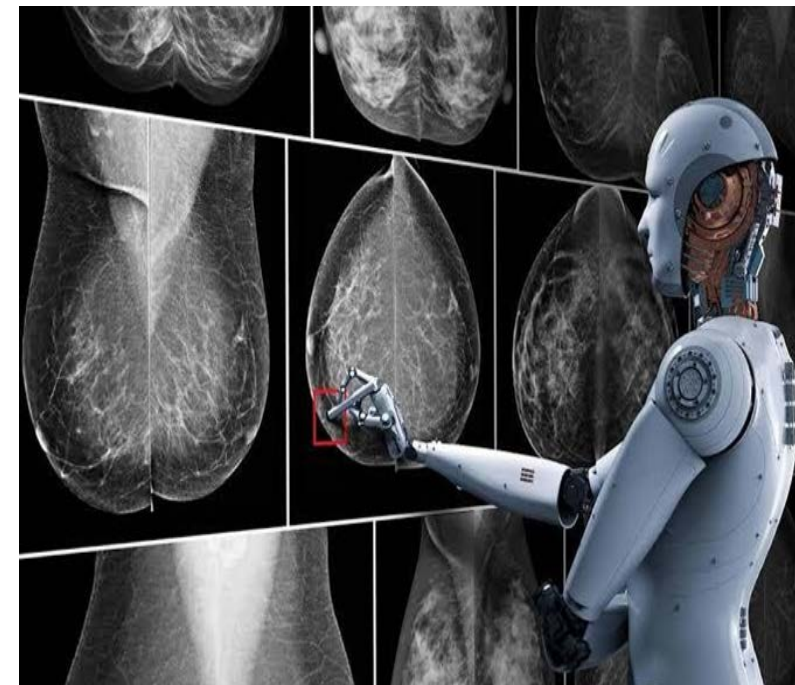
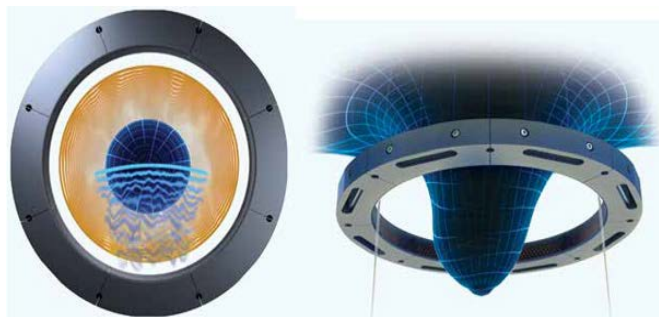
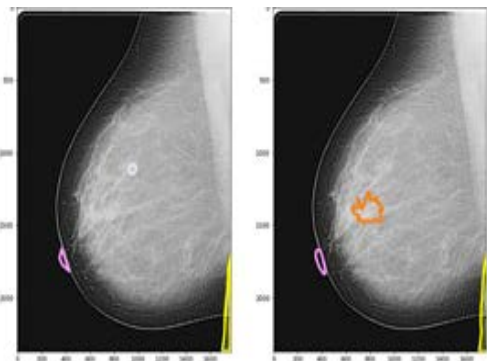


Скорость



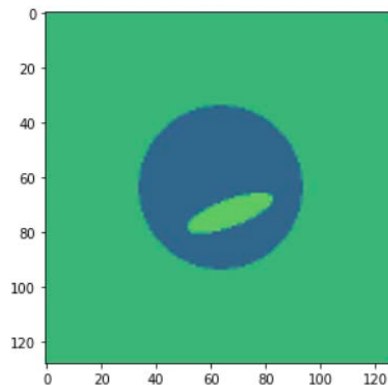
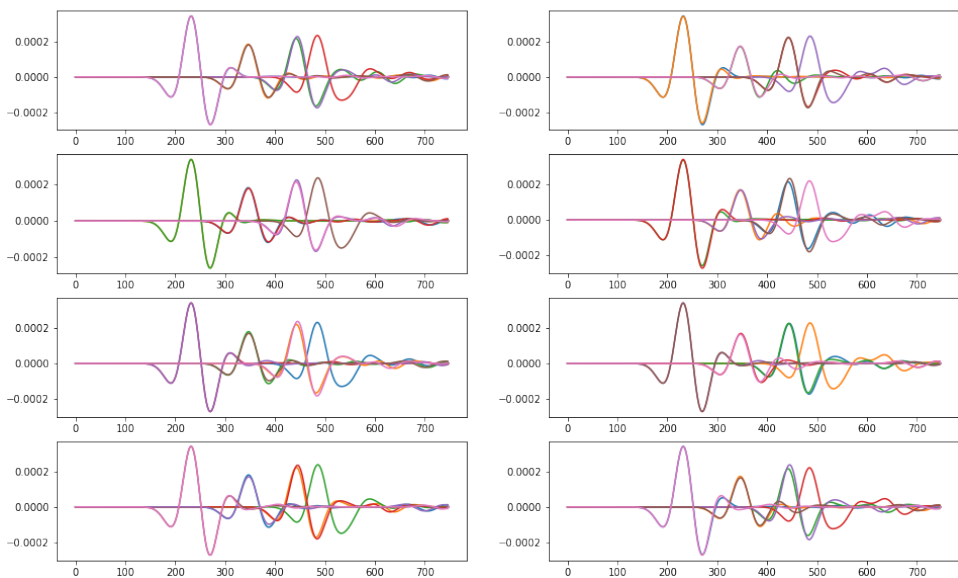
Разработка нейросетевых алгоритмов раннего выявления опухоли

Решение обратной задачи на основе глубокого обучения



Этапы обучения нейросети:

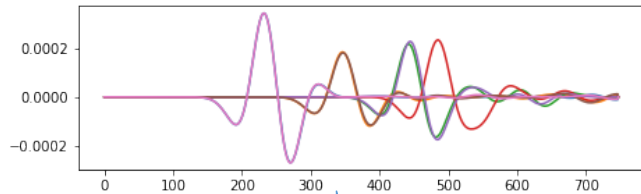
1. Intel Xeon Gold 6140 (2.1 Ghz, 18 ядер), ОЗУ 512 Гб – 11 часов подготовка 15000 тренировочных данных.
2. Intel i5-10400F (2.90 GHz, 6 ядер), ОЗУ 64 Гб, GeForce RTX 2070 - 24 часа обучение нейросети. Итого: 35 часов.



Опухоль – изменение скорости распространения ультразвука в мягких тканях

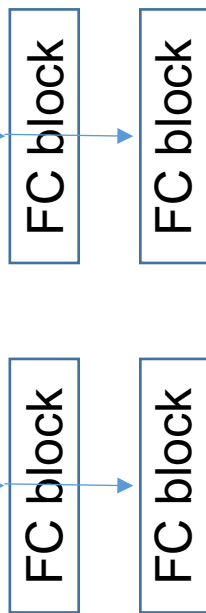
Синтетические данные для обучения нейронной сети: 7500 кругов и 7500 эллипсов.

Архитектура нейронной сети типа Autoencoder. Скрытые слои



Curve #1

Curve #56



Concat

FC block

Latent space

FC block

Reshape 4x4

8x8
Up block

16x16
Up block

32x32
Up block

64x64
Up block

128x128
Up block

Conv 1x1

Dim=256

FC block

||

Linear

BatchNorm

Activation

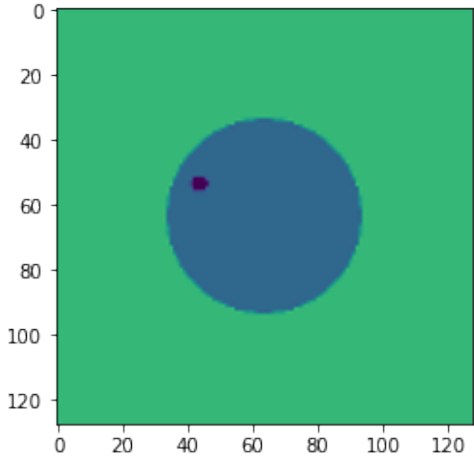
Up block

||

ConvTranspose

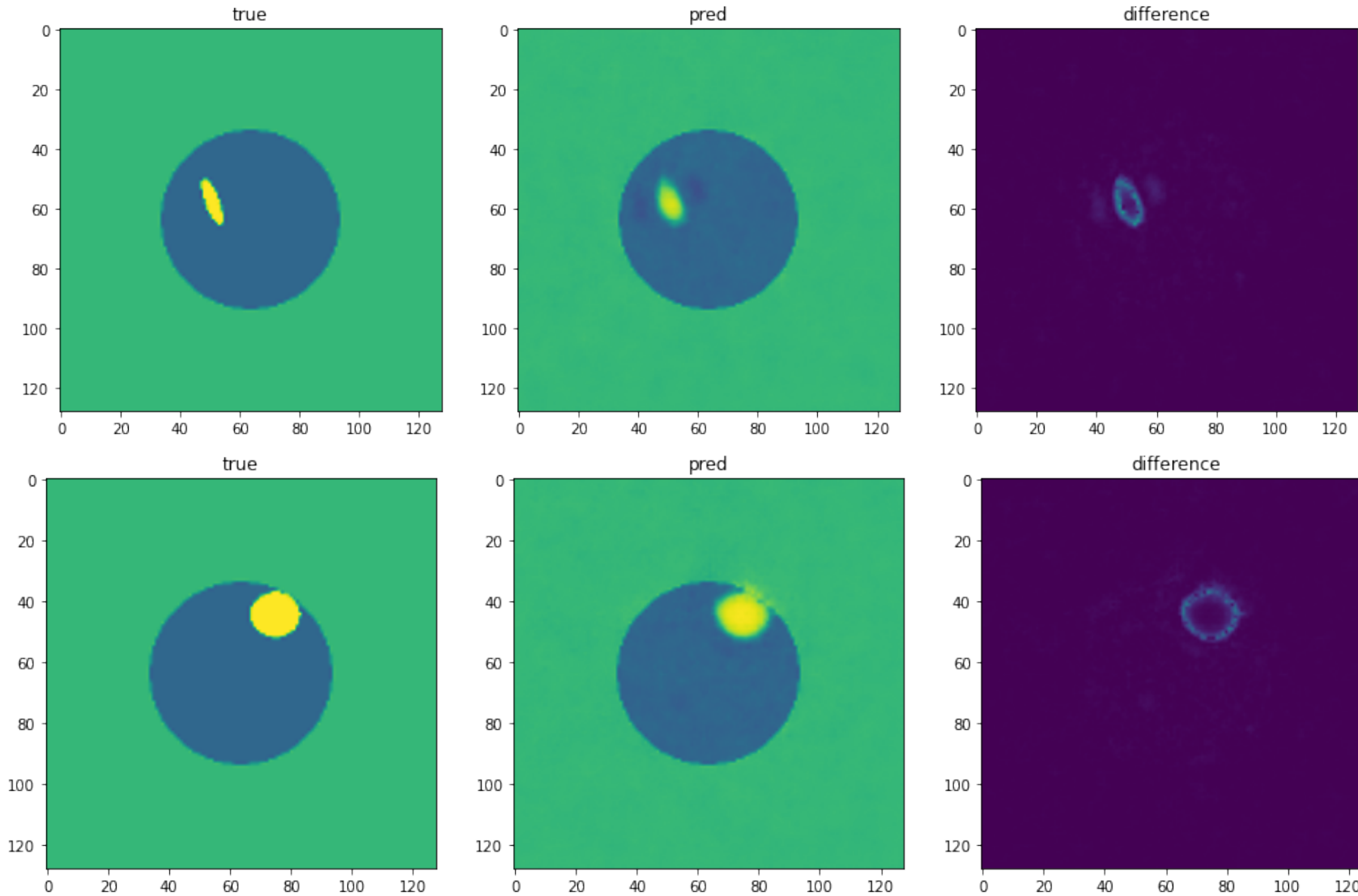
BatchNorm

Activation

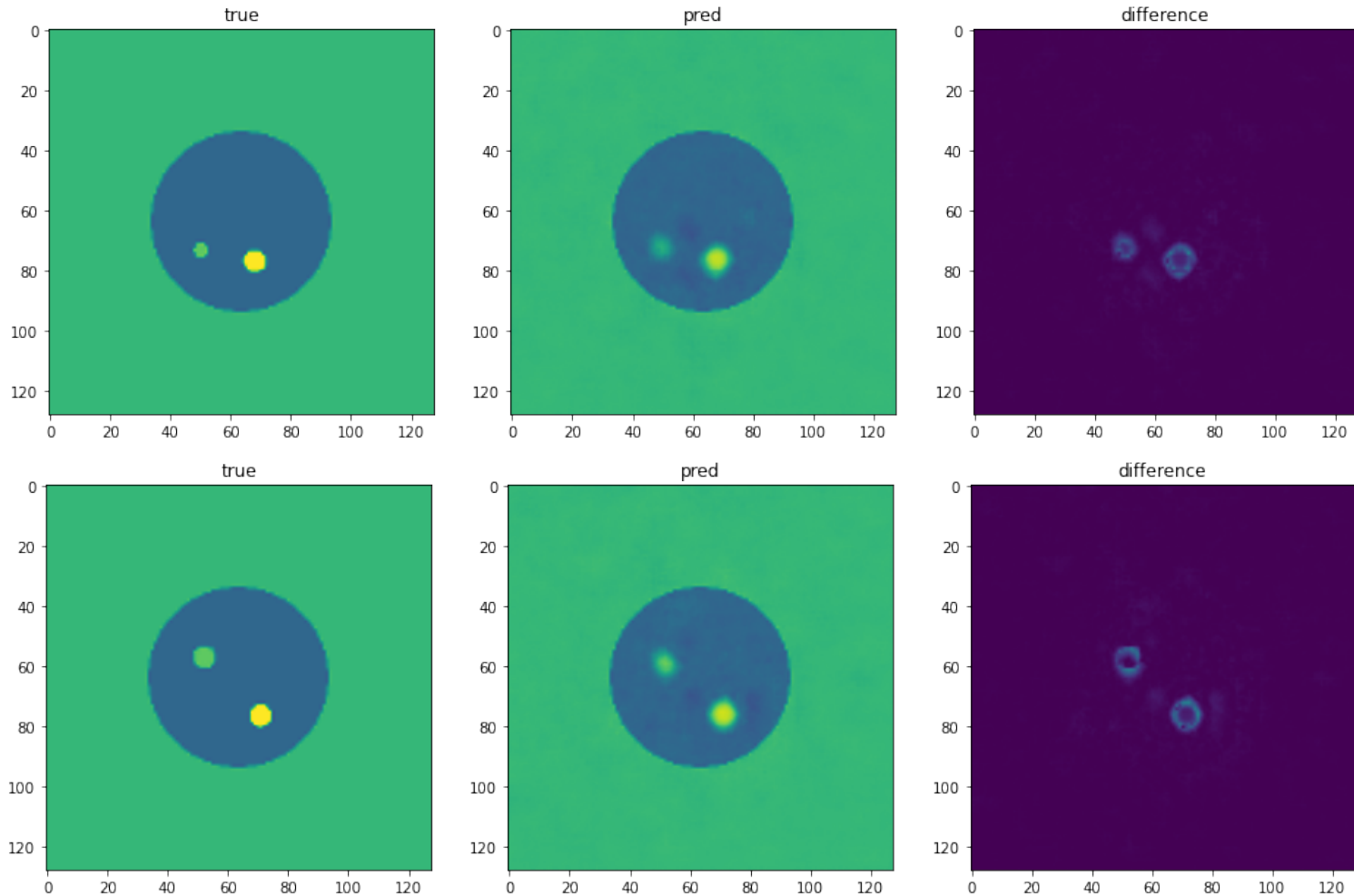


Результаты восстановления.

Наборы данных содержат только одно включение (круг или эллипс)



Результаты восстановления двух неоднородностей по 15000 тренировочному набору данных из одного круга или эллипса

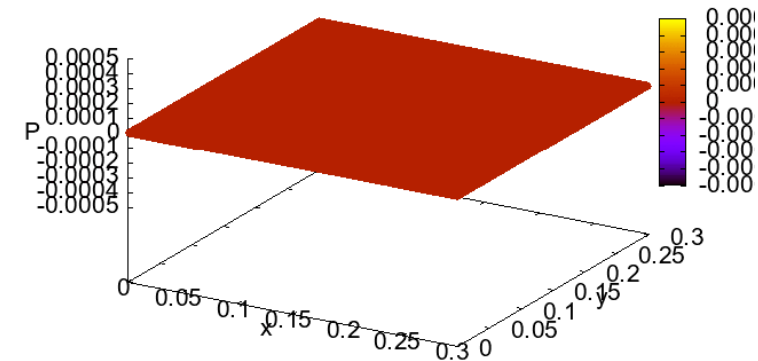
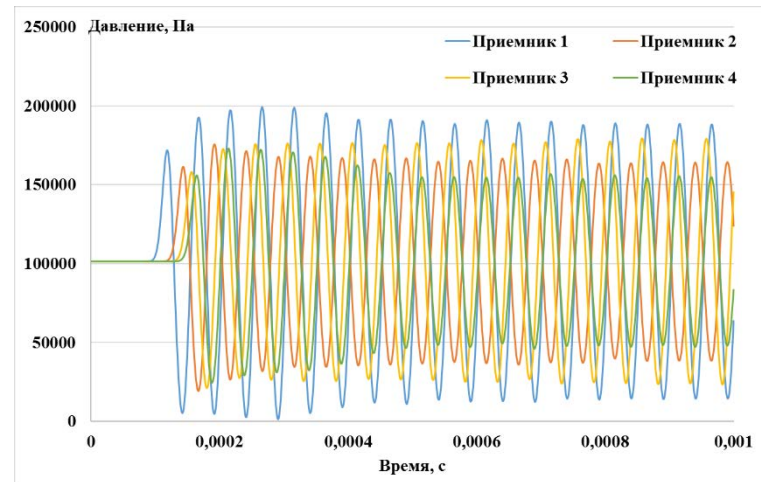
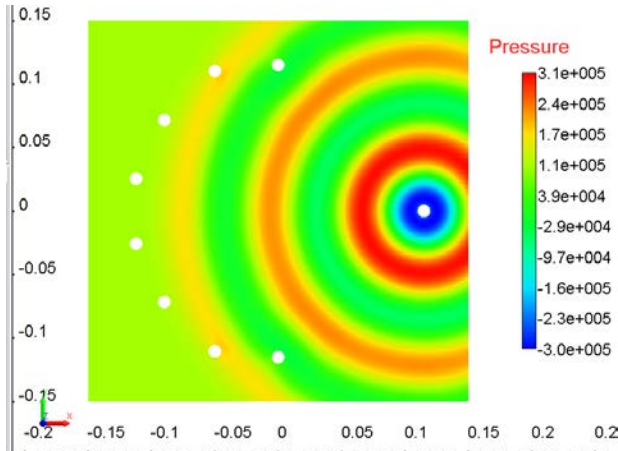
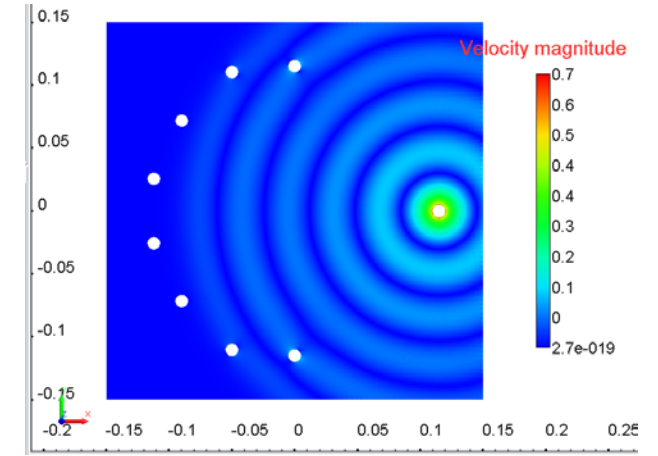
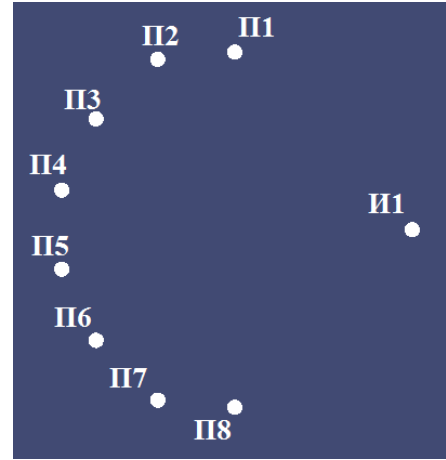


Сравнение:

- Intel Xeon Gold 6140 (2.1 Ghz, 18 ядер), ОЗУ 512 Гб - 7 часов для решения обратной задачи.
- Intel i5-10400F (2.9 GHz, 6 ядер), GeForce RTX 2070, ОЗУ 64 Гб - 0,01 сек. для решения обратной задачи на основе глубокого обучения. Предварительно необходимо 35 часов для обучения.

Задача акустической томографии на основе уравнений Навье-Стокса

$$\begin{cases} \frac{\partial \rho}{\partial t} + \frac{\partial}{\partial x_i}(\rho u_i) = 0 \\ \frac{\partial \rho u_i}{\partial t} + \frac{\partial}{\partial x_j}(\rho u_i u_j) = -\frac{\partial p}{\partial x_i} + \frac{\partial}{\partial x_j} \tau_{ij} \\ \rho = \rho(p) \end{cases}$$

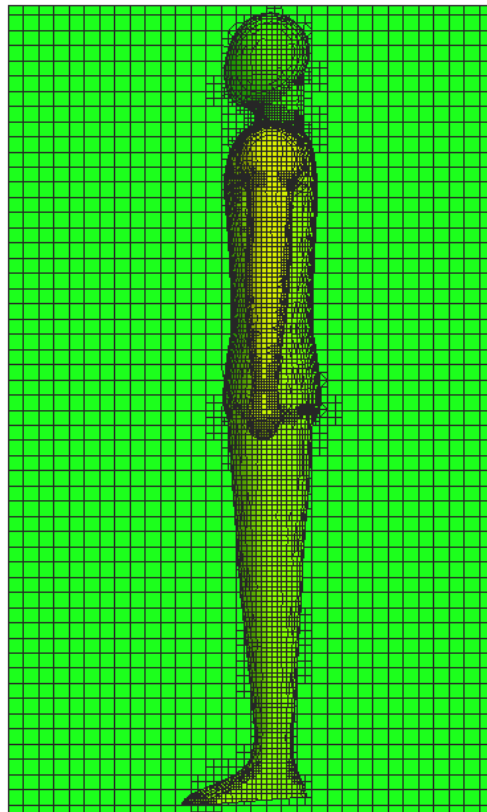
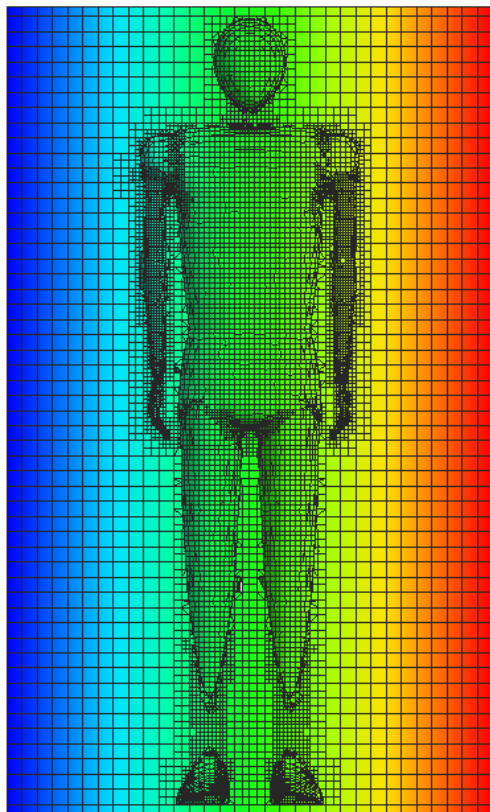
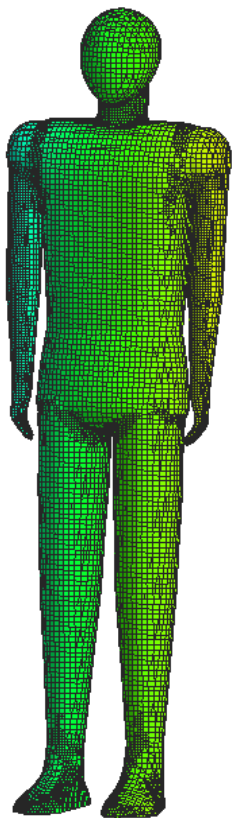


Нелинейная акустика

Линейная акустика

Исследование возможности определения

- патологий печени
- осложнений легких после Covid-19



	скорость звука, м/с	плотность, кг/м ³
жировая ткань	1460	904
мышечная ткань	1550	994
костная ткань	3660	1700
печень	1570	1083
среднее по человеку		1036

Параметры манекена:

рост – 1,95 м,

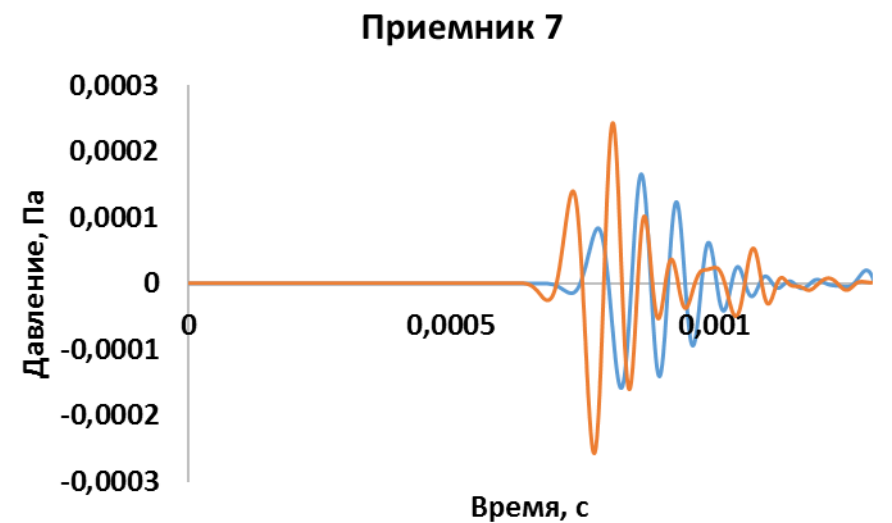
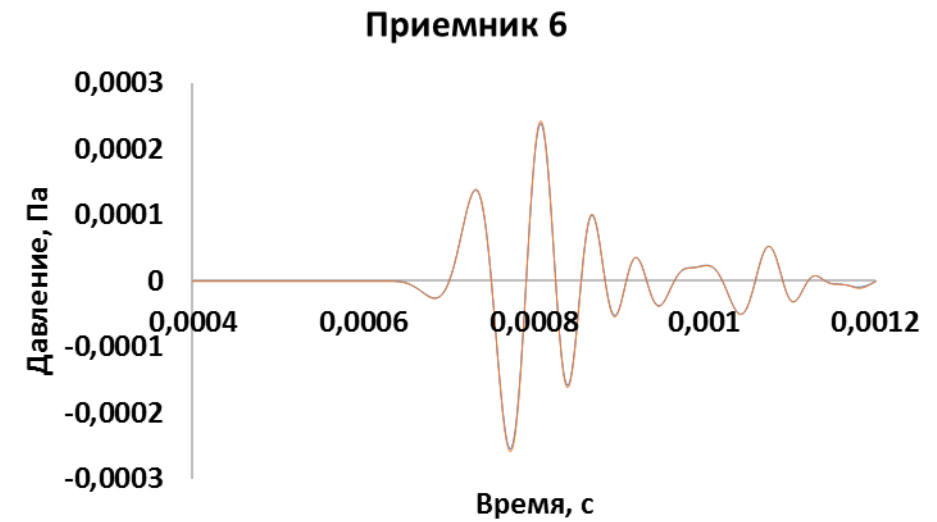
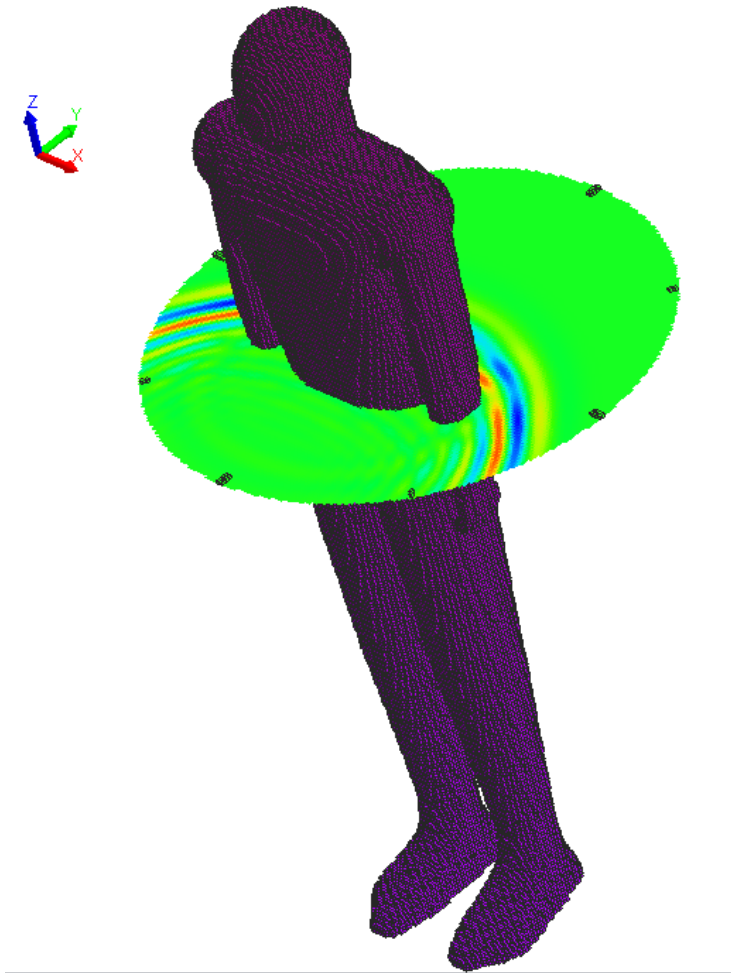
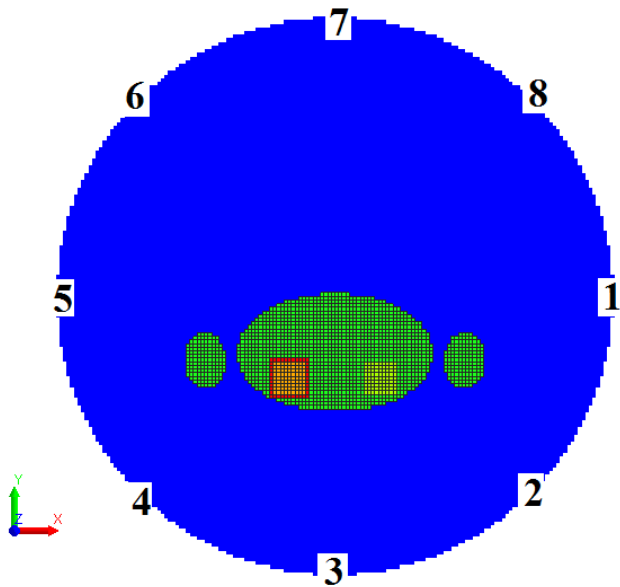
ширина плеч – 0,56 м,

толщина – 0,34 м.

Параметры томографа:

высота – 2 м, диаметр – 1,2 м.

Нелинейная акустика. РФЯЦ-ВНИИЭФ (совместно с д.ф.-м.н. А.С. Козелковым)



Определение опухоли с разрешением ≈ 1 мм (500 x 500 x 500).

Требуется ≈ 4 Тб – для хранения данных динамической прямой задачи.

- Максимально использовать априорную информацию о строении среды для снижения требования по хранению памяти.
- Численный аналог метода наискорейшего спуска: на каждом узле решается прямая задача для выбора оптимального параметра спуска градиентного метода.
- Решение задачи в частотной области.
- Machine/Deep Learning. Обучающая выборка на данных прибора. Хорошее начальное приближение – априорная информация.

Благодарю за внимание!

Работа выполнена при поддержке РФФ, проект 19-11-00154 «Разработка новых математических моделей акустической томографии в медицине. Численные методы, высокопроизводительные вычисления и программное обеспечение»